2 b 4 п ь 8 8 6 в г Д О К Л А Д Ы

XXIV, № 5 1957

Խմբագրական կոլնգիա

Գ. Մ. ԴԱՎԹՑԱՆ, ՀՕՍՈՒ ԳԱ ակապեսնիկոս, Ա. Լ. ԹԱԻՏԱԶՑԱՆ, ՀՕՍՈՒ ԳԱ թղթակից ասգամ, Վ. Հ. ՀԱՄԲԱՐՁՈՒՄՑԱՆ, ՀՍՍՈՒ ԳԱ ակադեմիկոս (պատ. խմբագիր), Վ. Հ. ՂԱԶԱՐՑԱՆ, Ա. Լ. ՄՆՋՈ-ՑԱՆ, ՀՕՍՈՒ ԳԱ ակադեմիկոս, Ա. Գ. ՆԱԶԱՐՈՎ, ՀՕՍՈՒ ԳԱ թղթակից անդամ, Մ. Ծ. ՋՐԲԱՇՑԱՆ, ՀՕՍՈՒ ԳԱ ակադեմիկոս (պատ. խմբագրի տեղակալ)։

Редакционная коллегия

В. А. АМБАРЦУМЯН, академик АН АРМССР (отв. редактор), Г. С. ДАВТЯН, академик АН АРМССР, М. М. ДЖРБАШЯН, академик АН АРМССР (зам. отв. редактора), В. О. КАЗАРЯН, А. Л. МНДЖОЯН, академик АН АРМССР, А. Г. НАЗАРОВ, чл.-корресп. АН АРМССР, А. Л. ТАХТАДЖЯН, чл.-корресп. АН АРМССР,

ՀԱՑԿԱԿԱՆ ՍՍՌ ԳԻՑՈՒԹՅՈՒՆՆԵՐԻ ԱԿԱԴԵՄԻԱՑԻ ՀՐԱՏԱՐԱԿՉՈՒԹՅՈՒՆ

የበዺԱՆԴԱԿበԻԹՅՈՒՆ

Մեխանիկա	49
Մ. Ա. Չաղոյան — Բետոնյա բլոկների սահժանային վիճակի մի խնդրի ժասին	193
ԳեսՖիզիկա	
8. Գ. Հակոբյան — Հայաստանի էֆուզիվ ապարների մեացորդային մազնիսա- կանության մասին	201
Դեղագործական քիւնիա	
ե. Լ. Մնջոյան, Հ <i>ՍՍՌ ԳՍ. ակադեմիկոս</i> , Վ. Գ. Աֆրիկյան <i>և</i> Մ. Տ. Գրիգոր- յան — Հետազոտություն ֆուրանի ածանցյալների բնագավառում։ Հաղորդում XIII	207
Պետրոգրա Ֆիա	
Ս. Ի. Իալասանյան — Բիոտիտի անսովոր վարքը ապար կազմող միներալների	219
ռույսերի Ֆիզիոլոգիա	
Վ․ Հ․ Ղազարյան, Գ․ Գ․ Գաբրիելյան և Վ․ Շ․ Աղաբաբյան — Ֆոտոսին Թեզի ակտիվության և քլորոֆիլի վերականգնման միջև ևղած կապի մասին ․ ․ ․ ․ ․	225
Ո, ին ա ւս աե ա ըս բե ու ը	
Ս. Մ. Խնձորյան — Նոր հովհարակիր (Coleoptera, Rhipiphoridae) Հայկական ՍՍՈ-ից	231

СОДЕРЖАНИЕ

Механика	Стр.
М. А. Задоян — Об одной задаче предельного состояния бетонных блоков	193
Геофизика	
Ц. Г. Акопян — Об остаточной намагниченности эффузивных горных пород Армении	201
Фармацевтическая химия	
А. Л. Миджоян, академик АН АрмССР, В. Г. Африкян и М. Т. Гри-горян — Исследование в области производных фурана. Сообщение XIII	207
Петрография	
С. И. Баласанян — Необычное поведение биотита в схеме кристаллизации породообразующих минералов ,	219
Физнология растений	
$B.\ O.\ Казарян,\ \Gamma.\ \Gamma.\ Габриелян$ и $B.\ Ш.\ Агабабян$ — О связи между интенсивностью фотосинтеза и эпергией возобновления хлорофилла	225
Энтомология	
С. М. Хизорян — Новый веероносец из Армянской СЕР (Coleoptera, Rhi-piphoridae)	231

МЕХАНИКА

М. А. Задоян

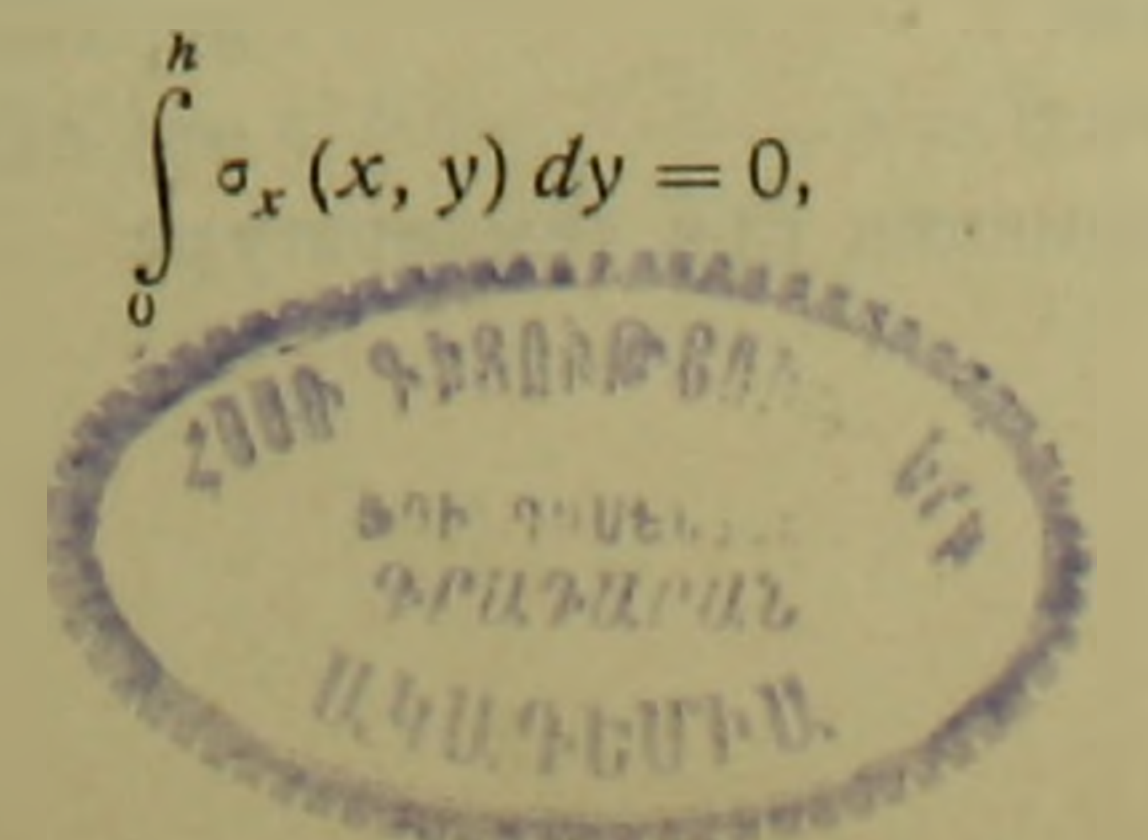
Об одной задаче предельного состояния бетонных блоков

(Представлено Н. Х. Арутюняном 22. І. 1957)

В нашей работе (1) рассмотрено упруго-пластическое состояние прямоугольного бетонного блока, лежащего на сплошном упругом основании, при равномерном охлаждении и нагревании.

Значительный интерес представляет вопрос о перераспределении напряжения и наступлении предельного состояния блока от температурного воздействия после укладки второго блока над первым. Область этих задач весьма общирна и многообразна, поэтому здесь исследуются лишь некоторые случаи. Принимается, что укладка второго блока производится при сравнительно небольших значениях температуры, когда в первом блоке еще не успели появиться пластические деформации. Для определенности предполагаем, что размеры обоих блоков и свойства контактов одинаковы (последний может быть, в частности, когда одинаковы состав бетона и промежутки бетонирования). Будем исходить из теории идеально - пластического тела. Обозначим через σ_1 и σ_2 условные пределы текучести при одноосном растяжении и сжатии, а через τ_s — предельное значение касательного напряжения, возникающего в контактах. Для количественной иллюстрации будем принимать, в частности, что $\tau_s = \frac{1}{2} \sigma_1 = \frac{1}{16} \sigma_2$.

1°. Прямоугольный блок. После укладки второго блока на верхней грани первого блока возникают касательные напряжения (силы сцепления) $\tau(x)$. Они по величине равны соответствующим касательным напряжениям, действующим на основании первого блока, и имеют обратные направления. Верхний блок находится в таком же напряженном состоянии, как и отдельно стоящий блок. Поэтому для этого блока можно использовать результаты, полученные в вышеуказанной работе (1). Уравнения равновесия нижнего блока при пренебрежении образовать ослучае охлаждения будут



$$\int_{0}^{h} \sigma_{x}(x, y) y dy + h \int_{x}^{1} \tau(x) dx = 0, \quad \int_{0}^{h} \tau_{xy}(x, y) dy = 0, \quad (1)$$

где h — высота, а 21 -- длина блока.

Предполагается, что $\tau(x) = \tau_s \frac{T}{T_s} \frac{x}{l}$, $T \leqslant T_s$, причем T_s значение температуры, при которой на концах контакта $\tau(l) = \tau_s$. Величина T_s

для данных размеров блока принимается известной.

Используя гипотезу плоских сечений и уравнения равновесия (1), для чисто-упругой стадии блока получим

$$\sigma_{x}(x,y) = \frac{3}{2} \frac{\tau_{s}}{m} \frac{T}{T_{s}} \left(1 - \frac{x^{2}}{l^{2}}\right) \left(1 - \frac{2y}{h}\right), \tag{2}$$

где $m=\frac{h}{2l}$. Из (2) следует, что первое в блоке, в нижнем крае сечения x=0, возникает пластическое состояние от растяжения при температуре $T_1=\frac{2}{3}\frac{\sigma_1}{\tau_s}$ m $T_s=\frac{4}{3}$ m T_s . При увеличении T блок переходит в одностороннее упруго-пластическое состояние.

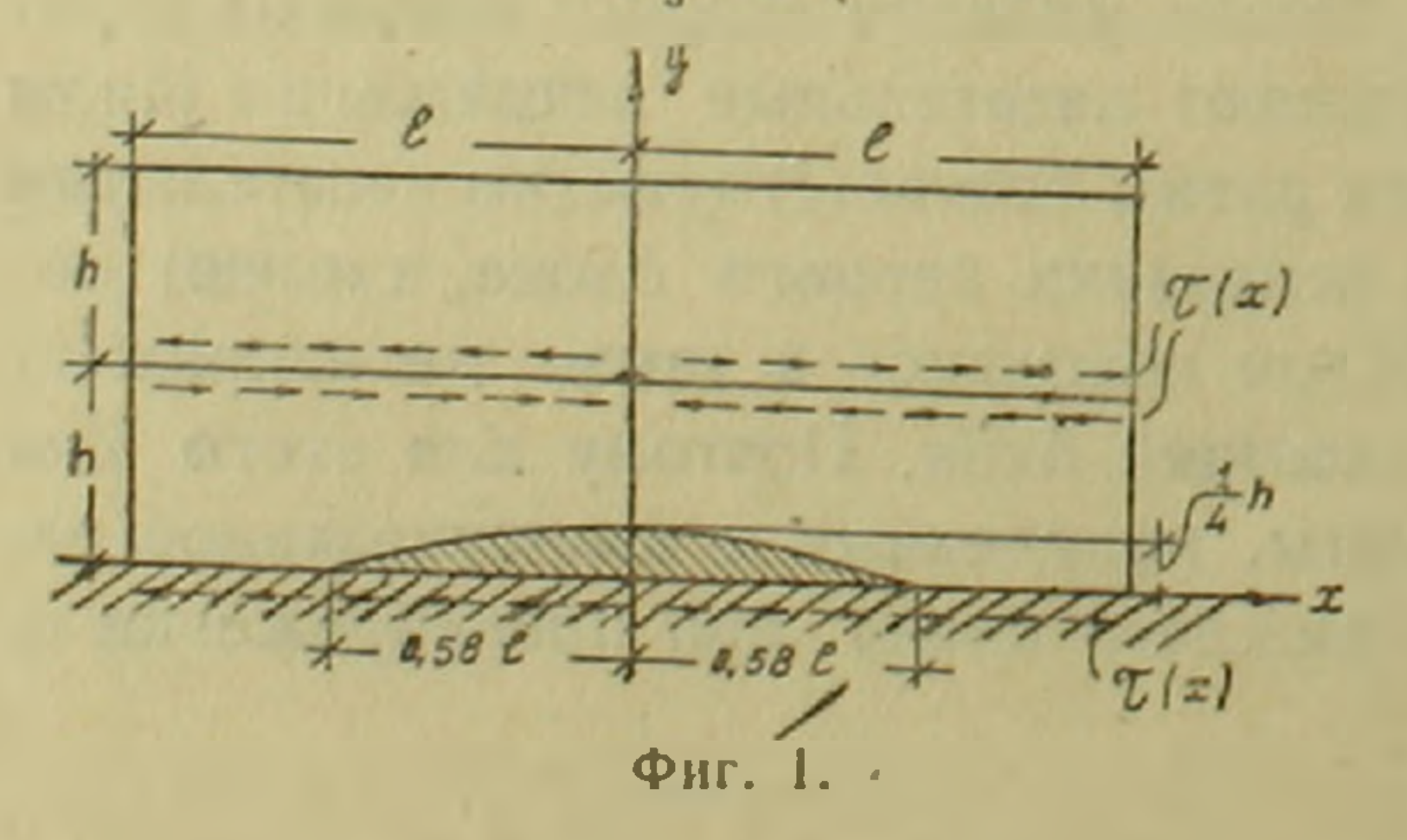
Исходя из гипотезы плоских сечений, уравнения равновесия (1) и условия $\sigma_x^e[x, \eta(x)] = \sigma_x^p[x, \eta(x)]$, $\eta(x_1) = 0$, где $\eta(x)$ ординаты точек указанной границы, а $2x_1$ длина пластической зоны, получим

$$\sigma_{x}(x, y) = \begin{cases} \sigma_{1} & \text{при } 0 \leq y \leq \eta \\ \sigma_{1} - \frac{2\sigma_{1}h\left[y - \eta(x)\right]}{\left[h - \eta(x)\right]^{2}} & \text{при } \eta \leq y \leq h \end{cases}$$

$$(3)$$

$$\eta(x) = \frac{h}{2} \left[\frac{6\omega(x)}{\sigma_1 h} - 1 \right], \quad x_1 = l \sqrt{1 - \frac{T_1}{T}}, \tag{4}$$

причем $\omega(x) = \tau_s \frac{T}{T_s} \frac{l}{2} \left(1 - \frac{x^2}{l^2}\right)$. При $T = \frac{\sigma_1}{\tau_s} m T_s$, т. е. когда впервые в



нижнем крае верхнего блока возникают пластические деформации (1), высота и длина пластической зоны нижнего блока суть (фиг. 1)

$$\eta(0) = \frac{1}{4} h, \quad x_1 = \frac{\sqrt{3}}{3}l.$$

Из (3) следует, что в верхнем крае нижнего блока от сжатия впервые появятся

пластические деформации при температуре:

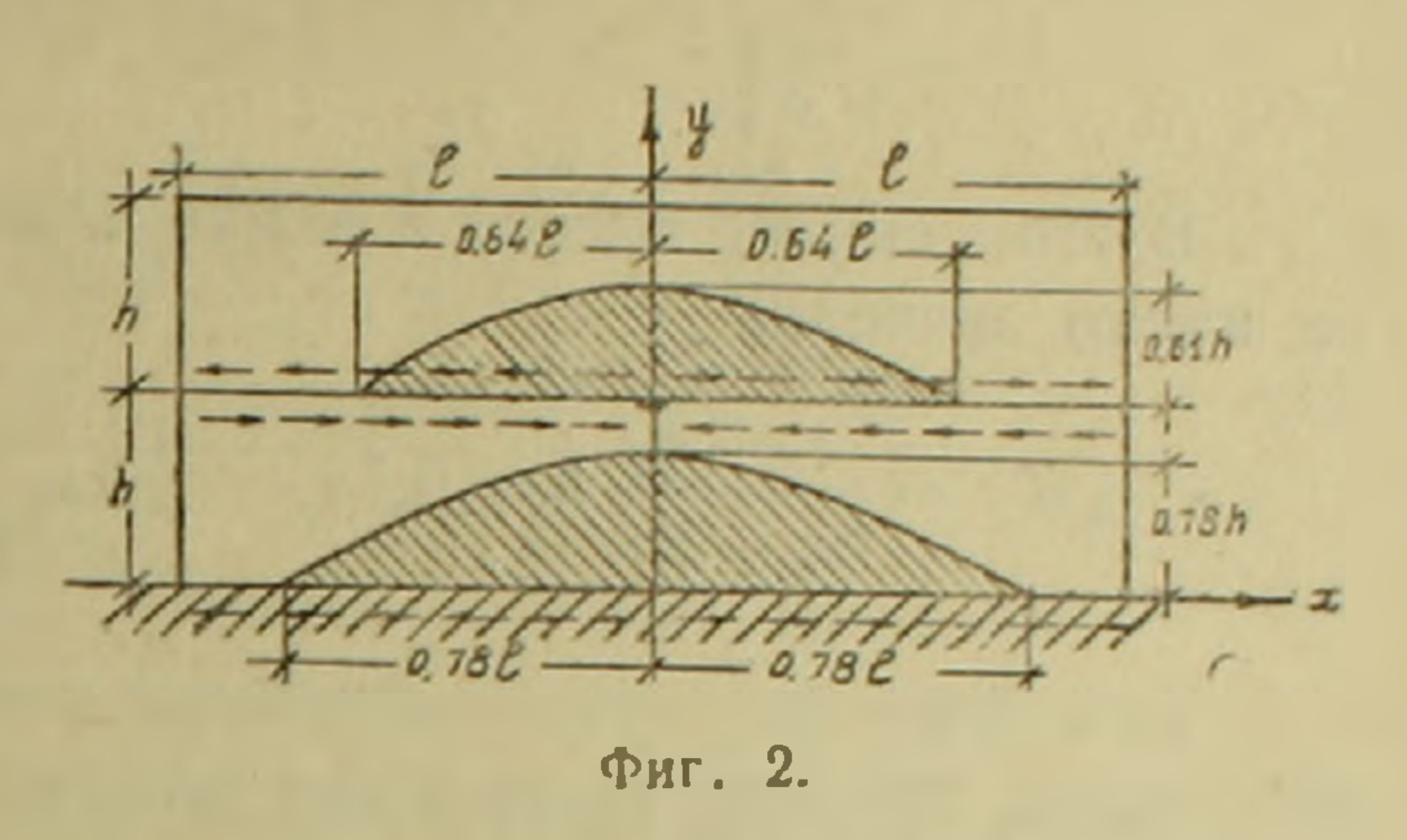
 $T_2 = \frac{2}{3} \frac{\sigma_1}{\tau_s} \frac{3\sigma_2 - \sigma_1}{\sigma_2 + \sigma_1} \, m \, T_s \approx 3,4 \, lm \, T_s$. В этой стадии высота и длина пластической зоны для нижнего блока будут (фиг. 2):

$$\eta(0) = \frac{\sigma_2 - \sigma_1}{\sigma_2 + \sigma_1} h \approx 0,78h,$$

$$x_1 = \sqrt{2} \sqrt{\frac{\sigma_2 - \sigma_1}{3\sigma_2 - \sigma_1}} l \approx 0,78l$$

Соответствующие значения для верхнего блока получаем из (1):

$$\eta(0) = \frac{3\sigma_2 - 5\sigma_1}{3\sigma_2 + 7\sigma_1} h \approx 0.61h,$$

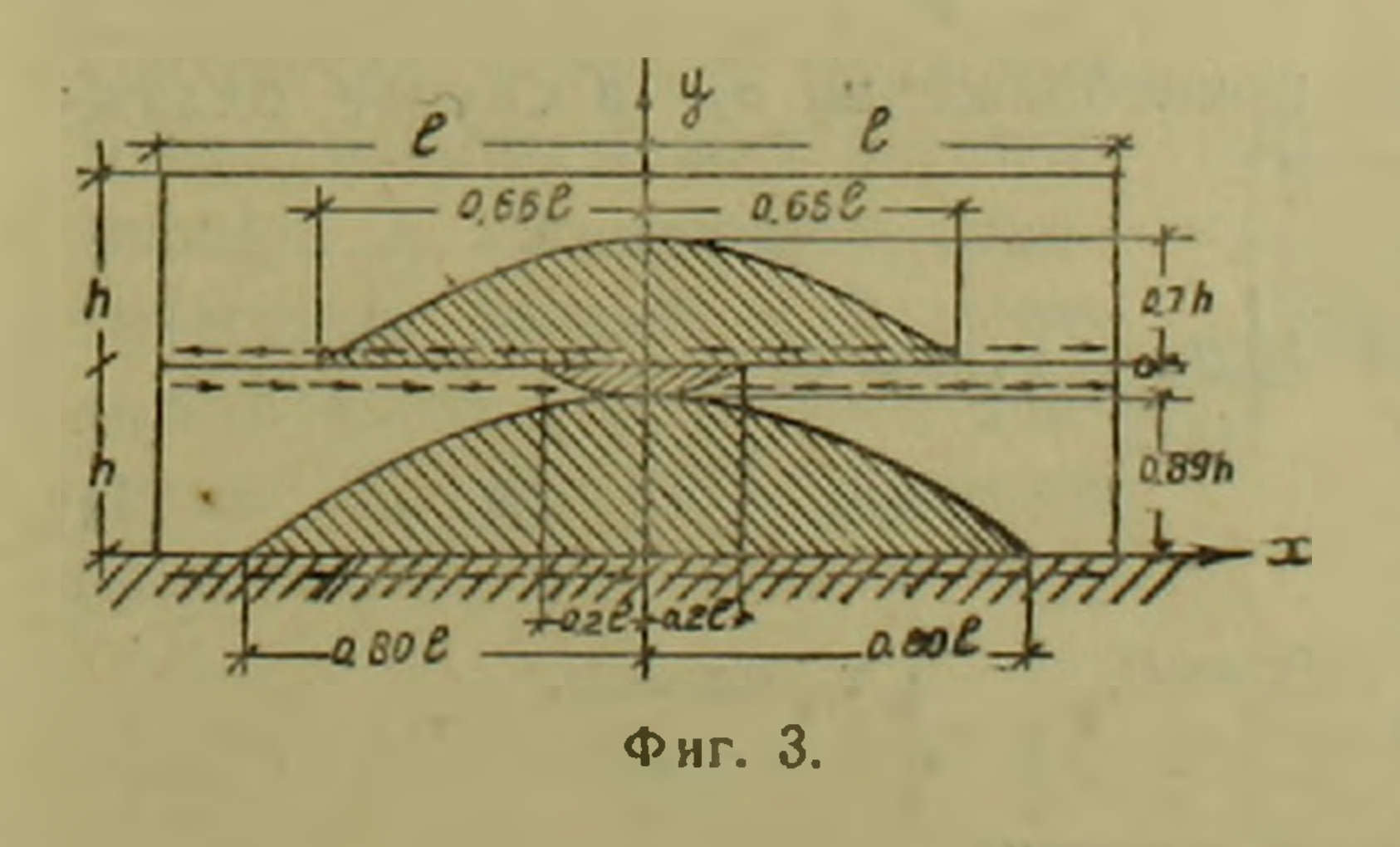


$$x_1 = \frac{\sqrt{2}}{2} \sqrt{\frac{3\sigma_2 - 5\sigma_1}{3\sigma_2 - \sigma_1}} l \approx 0,64l.$$

При $T > T_2$ нижний блок переходит в двухстороннее упруго-пластическое состояние. На основании гипотезы плоских сечений, уравнения равновесня (1) и условий $\sigma_x[x,\eta_1(x)] = \sigma_x^p[x,\eta_1(x)], \ \sigma_x^e[x,\eta_2(x)] = \sigma_x^p[x,\eta_2(x)].$ $\eta_2(x_2) = h$, где η_1 и η_2 ординаты точек границы соответственно растягивающей и сжимающей пластической зоны, $2x_2$ длина сжимающейся пластической зоны, $2x_2$ длина сжимающейся пластической зоны, $2x_2$ длина сжимающейся

$$\sigma_{x}(x, y) = \begin{cases} \sigma_{1} & \text{при } 0 \leq y \leq \tau_{11} \\ \sigma_{1} - (\sigma_{1} + \sigma_{2}) \frac{y - \eta_{1}(x)}{\eta_{2}(x) - \eta_{1}(x)} & \text{при } \eta_{1} \leq y \leq \tau_{12} \\ -\sigma_{2} & \text{при } \tau_{12} \leq y \leq h \end{cases}$$
 (5)

$$\frac{\eta_{1}(x)}{\eta_{2}(x)} = \frac{\sigma_{2} \mp \sqrt{3} \sqrt{\sigma_{1} \sigma_{2} - \frac{2(\sigma_{1} + \sigma_{2})}{h} \omega(x)}}{\sigma_{1} + \sigma_{2}} h,$$
(6)



$$x_{2} = l\sqrt{1 - \frac{T_{2}}{T}},$$

$$T_{2} \leq T \leq T_{s}$$
(7)

В предельном состоянии, т. е. когда поперечное сечение x = 0 целиком переходит в чисто-пластическое состояние, имеем (фиг. 3):

$$\eta_1^*(0) = \eta_2^*(0) = \eta^*(0) = \frac{1}{\sigma_1 + \sigma_2} h \approx 0.89h,$$
(8)

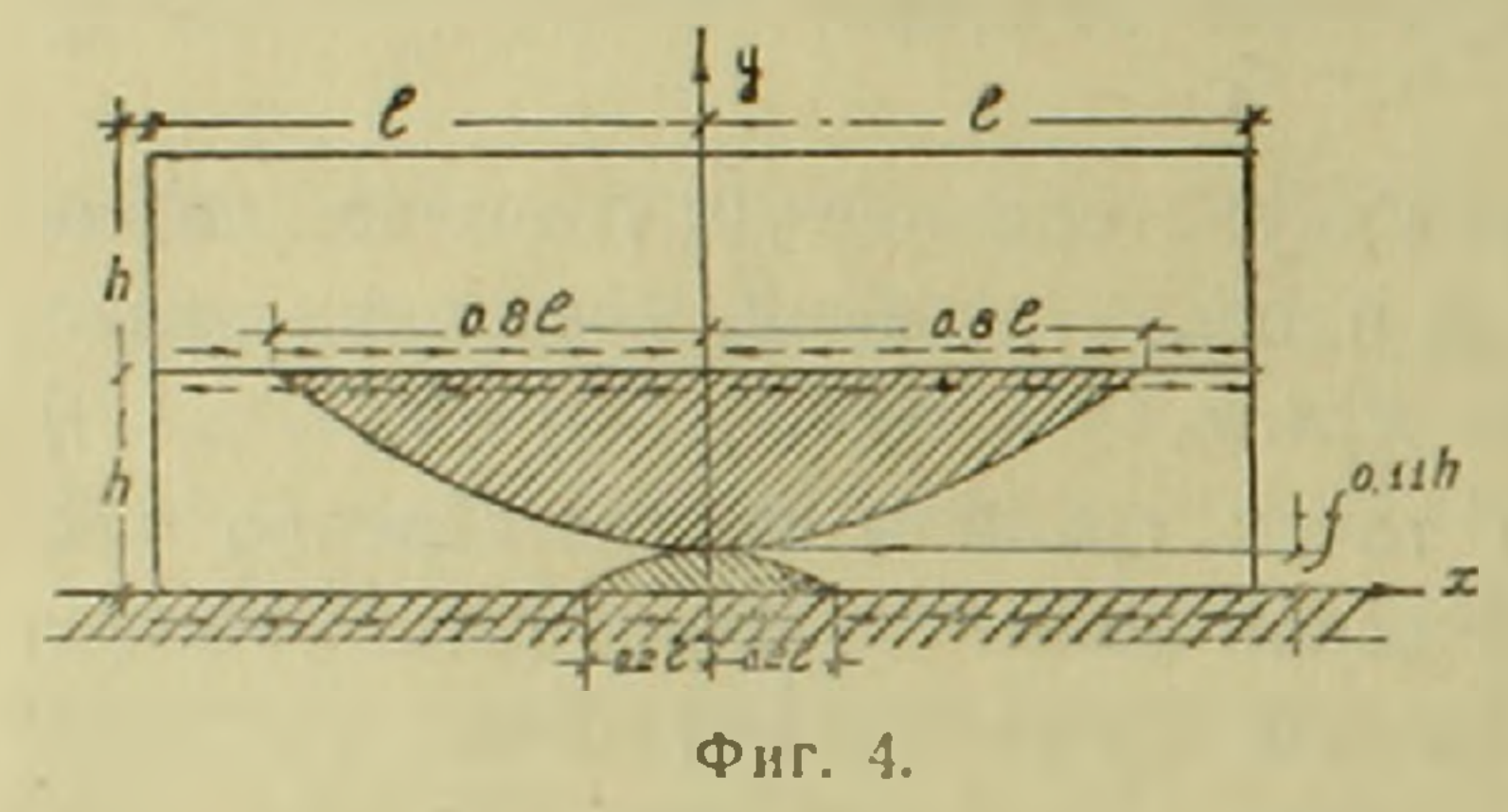
$$T_* = 2m T_s - \frac{\sigma_1 \sigma_2}{\sigma_1 + \sigma_2} \approx 3,55m T_s,$$
 (9)

$$x_1^* = \frac{l}{\sqrt{3}} \sqrt{\frac{\sigma_1}{\sigma_2}} \approx 0.8l; \quad x_2^* = \frac{l}{\sqrt{3}} \sqrt{\frac{\sigma_1}{\sigma_2}} \approx 0.2l$$
 (10)

В этой стадии высота и длина пластической зоны верхнего бло-ка имеют значения

$$\tau_1(0) = \frac{\sigma_2 - \sigma_1}{\sigma_2 + 2\sigma_1} h = 0.7h, \quad x_1 = \frac{l}{\sqrt{2}} \sqrt{1 - \frac{\sigma_1}{\sigma_2}} \approx 0.66l.$$

Сравнивая полученные формулы с аналогичными результатами (1), заключаем, что при охлаждении нижний блок переходит в чисто-пластическое состояние, между тем как верхний блок еще находится в односторонней упруго-пластической стадии.



Опуская для краткости аналогичные исследования при нагревании, отметим, что в этом случае в нижнем блоке возникает чисто - пластическое состояние до появления в какой - либо точке верхнего блока пластической деформации (фиг. 4).

 2° . Круглый блок. а) Предельное состояние круглого блока. Пусть круглый бетонный блок радиусом r=a и высотой z=h, лежащий на сплошном упругом основании, находится под воздействием равномерно распределенной температуры T° Ввиду разности механических свойств материала блока и основания в контакте появятся радиальные касательные напряжения (силы сцепления) τ (r), препятствующие свободным деформациям блока. Аналогично случаю прямоуголь-

ного блока будем принимать
$$\tau(r) = \tau \frac{T}{T_s} \frac{r}{a}$$
, при $0 \leqslant T \leqslant T_s$.

Уравнения равновесия (при пренебрежении о₂) в случае охлаждения будут

$$\int_{0}^{h} \left[\frac{\partial \sigma_{r}}{\partial r} + \frac{\sigma_{r} - \sigma_{\theta}}{r} \right] dz + \tau(r) = 0,$$

$$\int_{0}^{h} \left[\frac{\partial \sigma_{r}}{\partial r} + \frac{\sigma_{r} - \sigma_{\theta}}{r} \right] z dz = 0, \qquad \int_{0}^{h} \tau_{rz} dz = 0.$$
(11)

Имеем следующие граничные условия

$$\int_{0}^{h} \sigma_{r}(a, z) dz = \int_{0}^{h} \sigma_{r}(a, z) z dz = 0, \quad U(0, z) = \frac{\partial U(r, z)}{\partial r} \bigg|_{r = 0,$$
 (12)

где U(r,z) — радиальное перемещение произвольной точки блока. Исходя из гипотезы Кирхгофа для чисто - упругой стадии, из (11)—(12) получаем

$$\sigma_{r}(r,z) = \frac{3+\nu}{4} \frac{\tau_{s}}{m} \frac{T}{T_{s}} \left(1 - \frac{r^{2}}{a^{2}}\right) \left(1 - \frac{3z}{2h}\right),$$

$$\sigma_{0}(r,z) = \frac{3+\nu}{4} \frac{\tau_{s}}{m} \frac{T}{T_{s}} \left(1 - \frac{1+3\nu}{3+\nu} \frac{r^{2}}{a^{2}}\right) \left(1 - \frac{3z}{2h}\right).$$
(13)

где $m = \frac{h}{2a}$.

Условие постоянства максимальных касательных напряжений при пренебрежении τ_{rz} в нашем случае напишется в виде (2,3)

$$\sigma_0 = \sigma_1$$
 в растянутой зоне $\sigma_0 = -\sigma_2$ в сжимающей зоне. (14)

При увеличении температуры блок переходит в упруго-пластическое состояние. Однако решение полученной системы дифференциальных уравнений, описывающей эту стадию блока, даже при численном интегрировании весьма затруднительно, поэтому ограничиваемся рассмотрением лишь предельного состояния, т. е. когда блок переходит в чисто-пластическое состояние.

Учитывая, что $\sigma_r(r,z)$ и $\sigma_0(r,z)$ знакопостоянные функции от r, из (11) и (12) получим

$$\iint_{0}^{a} \sigma_{\theta} (r, z) dr dz = \int_{0}^{a} r \tau(r) dr,$$

$$\int_{0}^{h} \sigma_{\theta} (r, z) z dz = 0.$$
(15)

Обозначая через η^* ординаты точек границы между растяги-вающей и сжимающей пластическими зонами, а T_* соответствующее предельное зна-T(z) чение T_* , из (15) получим (фиг. 5):

Фиг. 5.

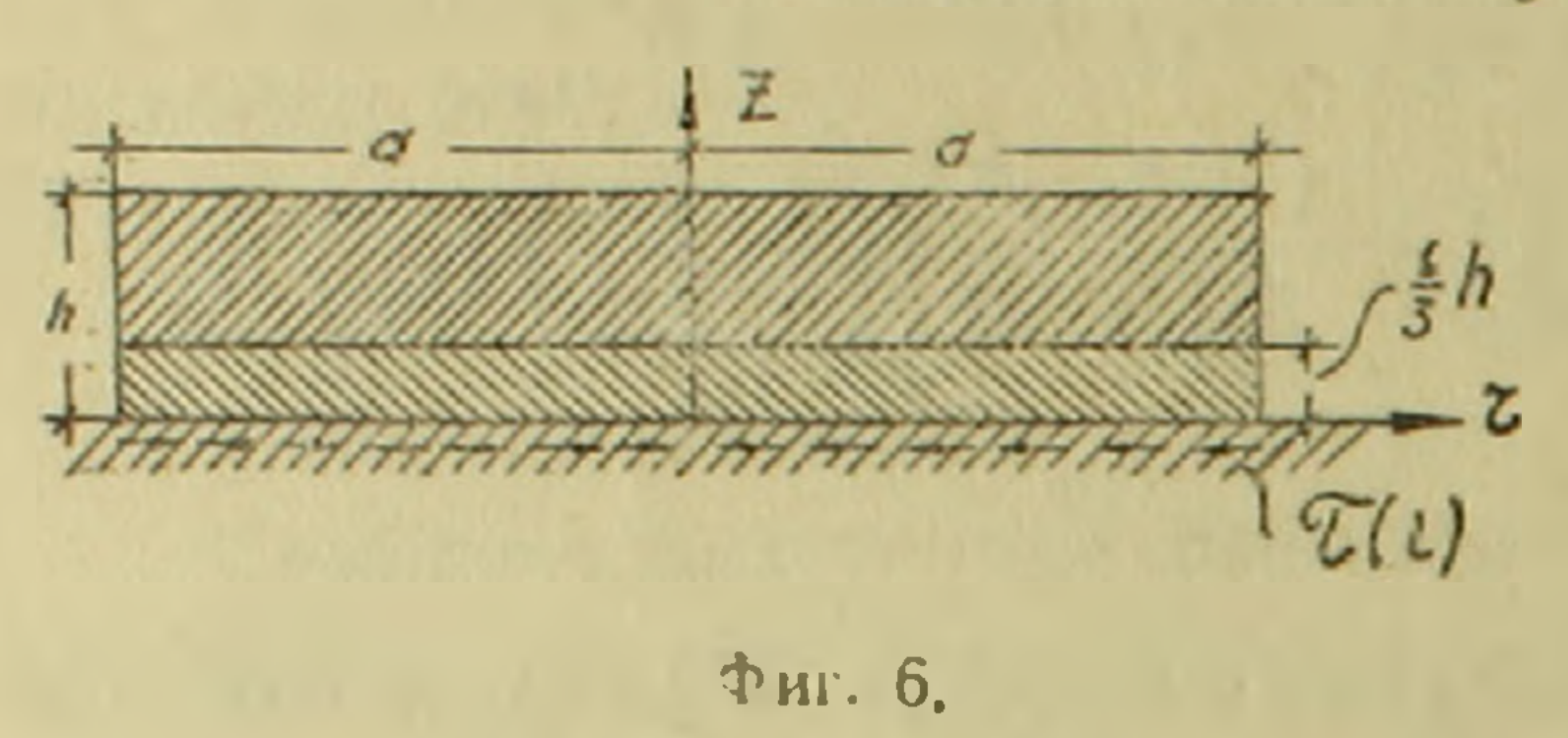
$$\eta^* = \sqrt{\frac{\sigma_2}{\sigma_1 + \sigma_2}} h \approx 0.94h, \tag{16}$$

$$T_* = 6mT_s \frac{-\sigma_2 + V\sigma_2(\sigma_1 + \sigma_2)}{\tau_s} \approx 5.81mT_s.$$
 (17)

В случае нагревания аналогично получим (фиг. 6).

$$\eta^* = \sqrt{\frac{\sigma_1}{\sigma_1 + \sigma_2}} h = \frac{1}{3} h,$$

$$T_* = 6m T_s \frac{-\sigma_1 + \sqrt{\sigma_1(\sigma_1 + \sigma_2)}}{\tau_s} = 24m T_s,$$
(18)



б) Предельное состояние круглого блока после укладки на него нового блока. Уравнения равновесия нижнего блока при охлаждении имеют вид

$$\int_{0}^{r} \left[\frac{\partial \sigma_{r}}{\partial r} + \frac{\sigma_{r} - \sigma_{6}}{r} \right] dz = 0,$$
(19)

$$\int_{0}^{h} \left[\frac{\partial \sigma_{r}}{\partial r} + \frac{\sigma_{r} - \sigma_{0}}{r} \right] z dz - h\tau(r) = 0, \quad \int_{0}^{h} \tau_{rz} dz = 0.$$

Граничные условия задачи остаются прежними (12). Для чисто-упругой стадии аналогичным путем получаем

$$\sigma_{r}(r,z) = \frac{3(3+\nu)}{4} \frac{\tau_{s}}{m} \frac{T}{T_{s}} \left(1 - \frac{r^{2}}{a^{2}}\right) \left(1 - \frac{2z}{h}\right),$$

$$\sigma_{0}(r,z) = \frac{3(3+\nu)}{4} \frac{\tau_{s}}{m} \frac{T}{T_{s}} \left(1 - \frac{1+3\nu}{3+\nu} \frac{r^{2}}{a^{2}}\right) \left(1 - \frac{2z}{h}\right),$$
(20)

причем $0 \le T \le T_s$. Преобразуя (19) и учитывая (12), можем написать

$$\int_{0}^{h} \sigma_{\theta}(r,z) dz = 0.$$

$$\int_{0}^{a} \int_{0}^{h} \sigma_{\theta}(r,z) z dr dz = -h \int_{0}^{a} r\tau(r) dr.$$
(21)

Из (21) и (14) следует

$$\tau_1^* = \frac{\sigma_2}{\sigma_1 + \sigma_2} h \approx 0.89h,$$

$$T_* = 3mT_s \frac{\sigma_1 \sigma_2}{\tau_s(\sigma_1 + \sigma_2)} \approx 5.33mT_s.$$
(22)

Сопоставляя формулы (22) с (17) заключаем, что нижний блок переходит в предельное состояние раньше, чем верхний.

К аналогичному выводу приходим и в случае нагревания.

Институт математики и механики Академии наук Армянской ССР

Բետոնյա բլոկների սահմանային վիճակի մի խնդրի մասին

Որոշ<mark>ակիության համար ընդունված է, որ բլոկների չափերը և կոնտակտների</mark> հատկությունները նույնն են։

1. Ուղղանկյունաձև բլոկ.— Օդտադործելով հավասարակչոության ինսոեցրալ հավասարուժները (1), հարի կտրվածքների հիպոթեզը, պլաստիկական ու թյան պայժանի իղեալական դիադրաժան, առաձգական և պլաստիկական դոտիների սահժանաղծերուժ լարուժների անրադրաժան պայժանները արտածված են բանաձևեր նորժալ լարժան,— պլաստիկական գոտիների երկաըությունների և սահժանային Չևրժաստիձանների հաժար։

Սառեցման դեպքում միակողմանի և հրկոդմանի առաձգա-պլաստիկական վիճակի համար, համ<mark>ապատասի</mark>անաբար, նրա թ արտահայտվում ևն (3)—(7), իսկ դուտ պլաստիկական վիճակի համար (8)—(10) րանաձևերով (գծ. 1, 2, 3)։

առաձղական (աաքացգան գաղարակ) ոտամիայուղ (մջ․ 3՝ է)։ Հրուս արագարին և չարին արագարի ասագատ-ունասաիկակար (սատրազար գաղարակ) կաղ ժուս Վրևին ը դրևին արագարի ասագատ-ունասաիկանար (սատրազար գաղարակ) կաղ ժուս Արևին ը դրևին արագարի ասագարում (մջ․ 3՝ է)։

2⁰. Կլոր բլոկ. — Նախասլես ուսումնասիրվում է հոծ առաձղական հիմբ ունեցող կլոր բլոկի ղուտ պլաստիկական վիճակը հավասարաչափ սառևյուն և տարացման դեպբերում

Սառեցման դեպքում բլոկի զուտ ոլաստիկական վիճակի համար սեղմվող և ձգվող սլաստիկական գոտիների սահմանադծի հավասարումները տրվում է (16), իսկ դրան համապատասխան սահմանային ֆերմաստիճանը՝ (17) բանաձևևրով (գծ. 5)։

Իլոկի սահմանային վիճակը տաքացման դեպքում արտահայտվում է (18) րանաձևերով։ Երկրորդ թլոկը լցնելուց հետո առաջին թլոկի զուտ պլաստիկական վիճակը սառևցման դեպքում տրվում է (22) բանաձևերով։

ինչոլևս սառեցման, այնպես էլ տաքացման ժամանակ ներքևի բլոկը անցնում է ղուտ պլաստիկական վիճակի ավելի փոթը ջերժաստիճանի տակ ըան վերևինը։

ЛИТЕРАТУРА — ԳՐԱԿԱՆՈՒԹՅՈՒՆ

1 М. А. Задоян, Упруго-пластическое состояние прямоугольных бетонных блоков при равномерном распределении температуры, ДАН Арм ССР, XXIII, № 5. (1956). ² В. В. Соколовский, Теория пластичности, (1952). ³ А. А. Гвоздев, Расчет несущей способности конструкции по методу предельного равновесия, (1949.)



ГЕОФИЗИКА

Ц. Г. Акопян

Об остаточной намагниченности эффузивных горных пород Армении

(Представлено И. Г. Магакьяном 5. 11. 1957)

Известно, что территория Армении в третичное и четвертичное время переживала интенсивные вулканические извержения. Почти 2/3 территории Армянской ССР покрыты эффузивными образованиями, представленными различными лавами и вулканическими туфами. Согласно данным К. Н. Паффенгольца, за четвертичный период потоки андезито-базальтовых лав и покровы трахидацитовых туфов покрыли обширные пространства Гегамского хребта и массива г. Арагац. В круге проблем новейшей истории Малого Кавказа одно из важнейших мест, как на это справедливо указывают Е. М. Великовская и др. (1), занимают вопросы, касающиеся широко распространенных здесь проявлений вулканизма позднетретичного и четвертичного времени, их пространственной локализации в связи со структурой, соотношения с предыдущими вулканическими проявлениями, их возраста, стратиграфического расчленения и т. п.

Геологическими исследованиями установлено, что почти все четвертичные покровы имеют хорошо выраженные центры излияний в виде вулканических конусов с типичными кратерами и все проявления четвертичного вулканизма приурочены к складчатой зоне Армении. Однако часто приходится сталкиваться с фактом, когда не удается установить центры излияния отдельных лавовых потоков и произвести корреляцию территориально разобщенных одновозрастных лав. Между тем, такая увязка имеет существенное значение в геологии, так как она дает возможность установить их стратиграфическое положение и тектонику вышележащих толщ.

Измерения напряженности магнитного поля и магнитных свойств изверженных горных пород, выполнявшиеся автором в течение ряда лет на территории Армянской ССР, показывают большие возможности применения магнитного метода в условиях Армении для геологического картирования эффузивных пород, расчленения лав различных генераций, корреляция территориально разобщенных одновозрастных лав и т. п. Наряду с этим применение магнитного метода в условиях

№ № пп.	Название породы	Местонахождение	Возраст
1	Туфогенные породы	Алавердский р-н	Средний эоцен, палео-
2	Порфириты		
3	Андезиты и липариты	Нор-Баязетский р-н	Нижний и средний пли-
4	Долеритовые базальты	Приереванский. Нор-Ба- язетский. Алавердский, Степанаванский, Апа- ранский р-ны	Верхний плиоцен
5	Базальты, андезито-ба- зальты—лава типа A	Нор-Баязетский р-н	Верхний плиоцен, пост-
6	Андезиты и андезито-ба- зальты—лава типа В	Нор-Баязетский р-н	
7	Базальты и андезито-ба- зальты—лава типа Д	Приереванский, Артик- ский, Азизбековский, Ахтинский и Апаран- ский р-ны	Четвертичный (рисс — вюрм)
8	Андезиты, андезито-да- циты и дациты—лава типа Е	Приереванский, Азиз- бековский, Нор-Ба- язетский, Мартунин- ский, Апаранский и Севанский р-ны	ский)
9	Вулканические туфы	Приереванский р-н мас-	Четвертичный
10	Экструзивные породы- андезито-дациты и кварцевые диориты	Азизбековский, Амасий- ский р-нь:	Верхний плиоцен

Примечание: π — магнитная воспринмчивость, I_r — остаточная намагничен направление вектора I_r снизу вверх.

Армянской ССР сопряжено с преодолением значительных трудностей, обусловленных как резкой изменчивостью магнитных свойств самых эффузивов, так и сложностью геологического строения (тектоники) области и пересеченностью горного рельефа местности (2).

В последние годы автор производил систематическое изучение магнитных свейств большого количества эффузивных горных пород, преимущественно третичного и четвертичного возраста. Армении в связи с их возрастом, минералого-петрографическим и химическим составом, а также в связи с проблемой обратной намагниченности.

Необходимость заняться вопросами остаточной и в частности обратной намагниченности эффузивов Армянской ССР диктовалась тем, что предыдущими нашими исследованиями была установлена важней-

Кол-во образ-	x·106 CGSM			2.106 CGSM /,·106 CGSM /,·1						тора	Угол наклона век- тора /, от плос- кости хоу — ф		
N OH	cp.	макс.	мин.	cp.	макс.	мин.	cp.	макс.	мин	cp.	макс.	инн.	
15	2420 11000	8300		6000			6,2	22	0	33	90	0	
J	11000	21000	2600	30000	87000	14000	13,7	24,4	10,1	11.	33	-7	
12	1520	∂ 0 00	!80	6900	15100	530	11,3	100	1,2	38	90	0	
137	3600	90000	200	13600	2600 0	200	9,5	69	0,7	-43	-90	0	
50	2940	29800	200	17300	163000	400	14,7	120	0,6	-34	-82	0	
14	1840	9900	340	7100	28 30 00	520	9,7	71	0,8	-36	— 50	0	
94	2640	16000	340	9300	97400	2 0 0	8,8	44	0,4	40	9()	0	
118	5300	102000	200	26000	387000	400	12,4	52	0,3	42	90	0	
28	1780	636 0	300	6380	26000	750	9,0	33	1,5	45	71	11	
5	16200	28940	2620	153000	312000	16600	23,5	28	15,6	_43	-69	-10	

пость, 1 — индуцированная намагниченность. Знак (—) перед у указывает на

шая роль остаточной намагниченности в формировании аномального магнитного поля эффузивов и отмечен факт обратной намагниченности некоторых эффузивных горных пород (долеритовые базальты) позднетретичного (верхнеплиоценового) вазраста, имеющих довольно большое площадное распространение в Приереванском районе (3). Возникла необходимость расширить область исследования, выйти за пределы Приереванского района и проверить установленную закономерность между характером намагниченности эффузивных пород и их возрастом на более обширной площади, охватив при этом весь комплекс эффузивных пород Армении от нижнего эоцена до верхнечетвертичного возраста включительно.

В настоящее время у нас накоплен большой фактический мате-

риал по магнитным свойствам эффузивных горных пород третичного и четвертичного возраста Армянской ССР, позволяющий сделать некоторые выводы, имеющие важное значение как в геологии, так и в геофизике.

Прежде чем перейти к результатам этих исследований, отметим, что при изучении магнитных свойств эффузивов нас прежде всего интересовал следующий вопрос: как меняется величина и направление вектора остаточной намагниченности эффузивных горных пород в зависимости от их возраста?

Разумеется, чтобы определить направление вектора остаточной намагниченности, необходимо было иметь ориентированные образцы. Ориентировка заключалась в фиксации пространственного расположения образцов в естественном их залегании.

Таким путем нами собраны и исследованы на магнитометре M-2 около 500 образцов эффузивных пород из различных районов Армянской ССР.

Результаты этих исследований приведены в табл. 1.

Данные, приведенные в этой таблице, позволяют сделать следующие заключения.

- 1. Эффузивные породы третичного и четвертичного возраста Армянской ССР, представленные в основном туфогенными породами, базальтовыми, андезито-базальтовыми и андезито-дацитовыми лавами, вулканическими туфами, порфиритами и другими эффузивами, характеризуются не только высокой магнитной восприимчивостью (X), но и высокой остаточной намагниченностью (I_r), значительно (в 6—15 и более раз) превышающей индуцированную намагниченность (I_i). Отношение I_r к I_i в среднем составляет 11. Это означает, что в условиях Армянской ССР, где широко развиты молодые эффузивы в виде лавовых покровов и потоков, остаточная намагниченность горных пород является важным определяющим фактором в формировании аномального магнитного поля, обусловленного этими эффузивами.
- 2. По намагниченности все эструзивные горные породы третичного и четвертичного возраста Армянской ССР можно подразделить на три группы:
- а) нормально (косо) намагниченные ($I_r:I_i=9;\;\psi=32^\circ$) эффузивные породы эоцена—нижнего и среднего плиоцена;
- б) аномально (косо) намагниченные ($I_{*}:I_{*}=10,4;\;\psi=-40^{\circ}$) эффузивные породы верхнего плиоцена и постплиоцена;
- в) нормально (косо) намагниченные ($I_*:I_*=10,7;\;\psi=42^\circ$) эффузивные породы четвертичного возраста.

Следовательно, намечается определенная связь между направлением вектора остаточной намагниченности, его абсолютной величиной и отношением его к индуцированному намагничению, с одной стороны, и возрастом указанных пород, с другой; а именно: вектор остаточной намагниченности в эффузивных породах среднего эоцена и нижнего-среднего йлиоцена направлен сверху вниз (нормальная по-

лярность), в верхнеплиоценовых и постплиоценовых эффузивах (лавы типа A, B) — снизу вверх (аномальная полярность), в четвертичных эффузивах (лавы типа \mathcal{A} , E, вулканические туфы) — сверху вниз (нормальная полярность).

Установленный факт имеет существенное значение для объяснения природы интенсивных отрицательных и положительных аномалий, обычно наблюдаемых над эффузивными образованиями вообще и в Армении в частности.

- 3. Как правило, направление вектора остаточной намагниченности не совпадает с направлением индуцированной намагниченности, а для эффузивных пород верхнего плиоцена-постплиоцена I, направлен противоположно I. Во всех случаях вектор остаточной намагниченности отклоняется от плоскости XOY на угол меньше 45°. Это означает, что, несмотря на высокую остаточную намагниченность эффузивных пород, над ними не должны наблюдаться очень интенсивные магнитные аномалии.
- 4. Величина отношения остаточной намагниченности к индуцированной возрастает по мере уменьшения возраста породы. Следовательно, располагая данными о напряженности магнитного поля и о магнитных свойствах горных пород и зная направление вектора остаточной намагниченности, можно произвести возрастное расчленение и корреляцию территориально разобщенных одновозрастных толщ, представленных вулканогенными породами, а также судить о направлении земного магнитного поля в геологическом прошлом.

Исходя из вышеизложенного, на территории Армянской ССР в кайнозое мы выделяем три цикла вулканических извержений — эоценовый, плиоценовый и четвертичный. При этом, на основании магнитных исследований на территории Армянской ССР удается выделить две генерации четвертичных лав — более древнюю, закартированную К. Н. Паффенгольцем как лавы А и В, и более молодую—лавы Д и Е.

Следует отметить, что некоторые исследователи (1) в Малом Кавказе выделяют на основании анализа имеющихся геоморфологических, геологических и петрографических данных среди четвертичных лав два комплекса: самые молодые, послевюрмские (?) (соответствующие типу E К. Н. Паффенгольца) и более древние, обнимающие его типы A, B, \mathcal{A} (4). Кроме того, упомянутые исследователи на Малом Кавказе выделяют два цикла вулканических извержений — эоценовый и плиоцен—четвертичный. Между тем, К. Н. Паффенгольц выделяет три цикла извержения—эоценовый, олигоценовый и четвертичный.

Наши данные подтверждают наличие в Малом Кавказе трех циклов извержений, только лишь с отнесением олигоценового цикла к плиоцену.

В заключение следует отметить, что А. Г. Комаров, произведя исследование магнитных свойств изверженных пород палеозойского возраста Урала и Алтая, пришел также, как и мы, к выводу о

закономерной связи между вектором остаточной намагниченности изверженных пород и их возрастом (5).

Институт геологических наук Академии наук Армянской ССР

8. 9. ZU48F3UV

Հայաստանի էՖուզիզ ապարների մնացորդային մագնիսականության մասին

Միստեմատիկ ուսումնասիրության ենթարկելով Հայաստանում լայն տարածում ատացած երրորդական և չորրորդական հասակի էֆուղիվ ապարների մադնիսական հատկությունները կապված նրանց հասակից, միներոլոդիական և պետրոդրաֆիական կաղմից,
ինչպես նաև հակառակ մադնիսականացման երևույթներից, հեղինակը հանդել է մի քանի
կարևոր հետևությունների, որոնը ունեն էտկան նշանակություն ինչպես երկրարանությունում, նույնպես և դեոֆիզիկայում։

- 1. Երրորդական և չորրորդական հասակի բոթյր էֆուզիվ ապարները, սկսած նևթբիս էոցենից վերջացրած վերին չորրորդականով, օժաված են մեծ մնացորդային մազնիսականությամբ թվապես 10 և ավելի անդամ դերազանցելով ինդուկցիոն մաղնիսականությանը։ Հետևաբար այդ ապարների մազնիսական դաշտը հիմնականում պայմանավորված
 է նրանց ժնացորդային մաղնիսականությամբ։
- 2. Մնացորդային մադնիսականության վնկտորի ուղղություն տարբեր է տարբեր հասակի ասարների մոտ, ընդ որում էոցենի և միջին ու ստորին սլլիոցենի հասակի ապարներ), վեւ թին պլիոցենի և հետալիոցենյան (A և B տիպի լավաներ) ապարների մոտ—ուղղված է ներևից ներըև (նորմալ մադնիսականացված ապարներ), չուրորդական շասակի մյուս էֆուզիվ տարարներում (I) և E տիպի լավաներ, հրարխային տուֆեր) մնացորդային մադնի-

Նշված բոլոր դեպբերումն էլ մնացորդային մադնիսականության զեկտորը հորիզոնական հարթության հետ կազմում է 450-ից ոչ մեծ անկյուն։

3. Մնացորդային մազնիսականության և ինղուկցիոն մազնիսականության վեկարների հարարնրության րացարձակ արժերը կախման մեջ է դանվում նրանց հասակից, որթան էֆուդիվ ապարննրի հասակը հին է, այնչան այդ հարարերությունը փորր է և

ЛИТЕРАТУРА— ԳГЦЧЦЪП РЕЗПРЪ

1 Е. М. Великовская, Л. Н. Леонтьев и Е. Е. Милановский, К вопросу о стратиграфии четвертичных лав Малого Кавказа, Сборник памяти А. Н. Мазаровича, Изд. Моск. об-ва испыт. природы, (1955). ² Ц. Г. Акопян, О магнитных свой твах горных пород Армении, Труды Тбилисского института геофизики, т. XIV (1955). ³ Ц. Г. Акопян. Об одновозрастности долеритовых базальтов Приереванского района и Лорийского плато, ДАН АрмССР, т. XXI, № 5, (1955). ⁴ К. Н. Паффенгольц, Стратиграфия четвертичных лав восточной Армевни, Записки минерал. об-ва, 2 серия, ч. IX, выпуск 2. (1931). ⁵ А. Г. Комаров, К вопросу об остаточной намагниченности изверженных горных пород в связи с их возрастом, ДАН СССР, т. 110, 2. (1955).

ФАРМАЦЕВТИЧЕСКАЯ ХИМИЯ

А. Л. Миджоян, академик АН Армянской ССР; В. Г. Африкян и М. Т. Григорян

Исследование в области производных фурана

Сообщение XIII. Синтез некоторых аминоэфиров 5-метилфуран-2-карбоновой кислоты

(Представлено 20. II. 1955)

Исследованиями Инга и сотрудников (1) по изучению связи между строением и парасимпатомиметическими свойствами иодистого фурфурилтриметиламмония— "Фурметида" (I) и иодистого 5-метилфурфурилтриметиламмония (II) было установлено,

что 5-метилзамещенное по своей активности превосходит фурметид.

С этой точки зрения представлялось интересным, наряду с ранее синтезированной (2) группой аминоэфиров фуран-2-карбоновой кислоты (III), получить соответствующие 5-метилзамещенные (IV) с

целью исследования их свойств и сравнения активности по блокированию ганглионарных синапсов, а также торможению проводимости

нервных импульсов через ганглии.

Необходимая для наших работ исходная 5-метилфуран-2-карбоновая кислота некоторыми авторами описана в дитературе. Так, например, она была синтезирована окислением 2-метилфурфурола окисью серебра в щелочной среде (3) или гипобромитами щелочных металлов (4). Ацетилированием 5-метилфурана было получено 2-ацетилпроизводное, которое при окислении гипохлоритом калия с незначительным выходом образовало 5-метилфуран-2-карбоновую кислоту (5). Ре-

акция хлористого фурфурила с цианистым калием, как было найдено Кирнером (⁶), сопровождается перегруппировкой продукта реакции в 5-метилфурил-2-цианид, омылением которого автор получал соответствующую кислоту.

Приведенные данные свидетельствуют о том, что имеющиеся способы получения этой кислоты не представляют практического интереса как с точки зрения выхода продукта реакции, так и доступности исходных материалов.

Ранее была показана (1) возможность 5-хлор и бромметилирования алкиловых эфиров фуран-2-карбоновой кислоты, на базе доступного сырья фурфурола, протекающая с выходами порядка $80-92^{\circ}/_{\circ}$ теории. Дальнейшее развитие работ, на основе этой реакции, привело к необходимости разработки метода синтеза 5-метилфуран-2-карбоновой кислоты путем восстановления хлорметил-производного.

С этой целью, в поисках более удобного способа восстановления, обеспечивающего практически наиболее высокий выход, мы проверили несколько путей.

Восстановление 5-хлорметилфуран-2-карбонового эфира $3^{0}/_{0}$ амальгамой натрия в $50^{0}/_{0}$ уксусной кислоте давало выход в $73^{0}/_{0}$ теории. Использование концентрированной соляной кислоты и олова несколько повысило его $(77^{0}/_{0})$, но наиболее высокий выход $(83^{0}/_{0})$ мы имели в случае восстановления хлорметил-производного цинковой пылью в $90^{0}/_{0}$ уксусной кислоте. После омыления промежуточного эфира 5-метилфуран-2-карбоновая кислота получалась с выходами, достигающими $87^{0}/_{0}$ теории.

Таким образом, задача намеченных исследований была облегчена разработкой метода получения 5-метилфуран-2-карбоновой кислоты. В качестве аминоспиртового компонента нами были использованы: диметил, диэтиламиноэтанолы, диметил, диэтиламинопропанолы, α -метил- γ -диметил, диэтиламино, α , β -диметил- γ -диметил, диэтиламино, α , β -диметил- γ -диметил, диэтиламино-пропанолы, а также тетраметил и тетраэтилдиаминопропанолы-2.

Некоторые физико-химические свойства полученных соединений, их растворимых в воде солей—хлоргидратов, иодметилатов и иодэтилатов, сведены в табл. 1 и 2.

Элементарный анализ произведен сотрудниками нашего института С. Н. Тонаканян и А. А. Алоян.

Результаты исследований фармакологических свойств будут опубликованы после завершения работ.

Экспериментальная часть. Восстановление метилового эфира 5-хлорметилфуран-2-карбоновой кислоты.

а) В стеклянный сосуд с притертой пробкой помещают 17,4 (0,1 моля) метилового эфира 5-хлорметилфуран-2-карбоновой кислоты, 200 мл 50°/₀ уксусной кислоты и, небольшими порциями, вносят 600 г 3°/₀ амальгамы натрия. Декантируют жидкость с выделившейся ртути в 500 мл холодной воды. Выделившийся маслянистый слой отделяют и

водный 2—3 раза экстрагируют эфиром. Соединенные эфирные экстракты присоединяют к основному продукту, промывают водой, 5% раствором карбоната натрия, снова водой и сушат над безводным сернокислым натрием. После отгонки растворителя остаток перегоняют в вакууме, собирая фракцию, кипящую при 97—99°/12 мм.

Выход 10,2 или $73^{\circ}/_{o}$ теории. D_{+}° 1,1352, n_{b}° 1,4930, MR вычислено 36,68; найдено 35,87.

- б) В трехгорлую круглодонную колбу, снабженную мешалкой с ртутным затвором и обратным холодильником, помещают 17,4 (0,1 моля) метилового эфира 5-хлорметилфуран-2-карбоновой кислоты и 130 мл 35—36°/о соляной кислоты. При перемешивании в течение 1—1,5 часов, небольшими порциями, вносят 35,6 г (1,5 г-атома) олова в стружках, после чего, продолжая перемешивание, кипятят смесь в продолжение 18—20 часов. Выделившийся маслянистый слой отделяют, водный 2—3 раза экстрагируют эфиром и, присоединив к основному продукту, обрабатывают, как было показано в случае а). Выход 10,8 г, или 77,1°/о теории.
- в) В трехгорлую круглодонную колбу, снабженную мешалкой с ртутным затвором и обратным холодильником, помещают 17,4 г (0,1 моля) метилового эфира 5-хлорметилфуран-2-карбоновой кислоты и 6) мл 90% уксусной кислоты. При перемешивании небольшими порциями в течение 1,5—2 часов прибавляют 19,6 г (1,5 г-атома) цинковой пыли, после чего, продолжая перемешивание, кипятят смесь в течение 20 часов. Содержимое колбы сливают в 150 мл холодной воды и, отделив маслянистый слой, водный несколько раз экстрагируют эфиром. Дальнейшую обработку продукта реакции ведут так, как указано в способе а).

Выход 11,3—11,6 г или 81—830/о теории.

5-метилфуран-2-карбоновая кислота. В круглодонную колбу емкостью 100 мл. снабженную мешалкой с ртутным затвором и обратным холодильником, помещают 14 г (0,1 моля) метилового эфира 5метил-фуран-2-карбоновой кислоты и 22 мл 20°/₀-ного водного раствора едкого натра.

При постоянном перемешивании, реакционную смесь нагревают на кипящей водяной бане в течение 2 часов, после чего дают ей охладиться, промывают небольшим количеством эфира и подкисляют разбавленной соляной кислотой до кислой реакции на конго. Выделившуюся 5-метилфуран-2-карбоновую кислоту отсасывают, промывают на фильтре холодной водой и сущат на воздухе; т. пл. 108—109°.

Выход 10,5 - 11,0 г или 83,3—87,3°/₀ теоретического количества.

Хлорангидрид 5-метилфуран-2-карбоновой кислоты. В круглодонную колбу, снабженную обратным холодильником с хлоркальциевой трубкой, помещают 12,6 г (0,1) моля метилфуранкарбоновой кислоты в 40 мл сухого бензола и приливают раствор 13,1 г (0,11 моля) свежеперегнанного хлористого тионила в 40 мл сухого бензола. Смесь кипятят на водяной бане (под тягой) в течение 4—5 часов, отгоняют при



R	BLIXOR B 0/0	Температура кипения в С	Давление вим	M	d ₄ ²⁰	n20
CH ₃ N-CH ₂ -CH ₂ -	92,6	129—130	5	197,2	1,0587	1,4810
CH ₃ —CH ₂ N—CH ₂ —CH ₂ — CH ₃ —CH ₂	93,5	145—146	5	225,2	1,0254	1,4765
CH ₃ N-CH ₂ -CH ₂ CH ₂	82,1	133 — 134	2	211,2	1,0443	1,4860
CH ₃ -CH ₂ N-CH ₂ -CH ₂ -CH ₂ -CH ₂ -CH ₂ -CH ₃	83,0	142143	2	239,3	1,0155	1,4830
CH ₃ N-CH ₂ -CH ₂ -CH- CH ₃	84,5	127—129	2	225,2	1,0254	1,4826
CH ₃ CH ₃ —CH ₂ N—CH ₂ —CH ₂ —CH— CH ₃ —CH ₂ CH ₃ —CH ₂	86,2	137—138	1	253,3	1,0015	1,4830
CH_3 CH_3 $N-CH_2-CH_2-C CH_3$ CH_3 CH_3 CH_3 CH_3	54,2	142—144	3	239,3	1,0142	1,4850
CH ₃ -CH ₂ N-CH ₂ -CH ₂ -C- CH ₃ -CH ₂ CH ₃ -CH ₂ CH ₃ -CH ₂	65,2	159—161	3	267,3	0,9956	1,4860
CH ₃ N-CH ₂ -CH-CH- CH ₃ CH ₃ CH ₃	87,8	127—128	1	239,3	1,0128	1,4832
CH ₃	83,7	141—142	1	267,3	0,9927	1,4795
N-CH ₂ -C-CH ₂ - CH ₃ CH ₃ CH ₃	89,6	143—149	4	239,3	1,0087	1,4795
CH ₃ -CH ₂ N-CH ₂ -C-CH ₃ - CH ₃	75,1	168—170	5	267,3	0,9901	1,4790
CH ₃ N-CH ₂ -CH-CH ₂ CH ₃ CH ₃ CH ₃	85,0	168—169	2	254,3	1,0007	1,4825
CH ₃ -CH ₂ N-CH ₂ -CH-CH ₃ -N CH ₃ -CH ₃ -CH ₃ CH ₃ -CH ₃ CH ₃ -CH ₃	80,0	167—168	2	310,4	0,9876	1,4820

-C-O-R

_	МR- Анализ в °/о Температура									
MI	Q ^D	2		C		НЗ		N	Темпер	ратура ия в °C
-24	ено	Эмпиричес- кая фор- мула	- JL-	enb			1		хлоргил-	nn b C
вычис-	найдено		вычис	найдепр	вычислено	найдено	вычис-	найдено	ратов	пикратов
52,48	52,99	C ₁₀ H ₁₅ O ₃ N	60.90	60,49	7,67	7,74	7,10	6,83	155-!56	157
61,7!	62 0 2	C ₁₂ H ₁₉ O ₃ N	63,98	63,88	8,48	8,70	6,21	6,15	136 – 137	99
57,10	58,07	C ₁₁ H ₁₇ O ₃ N	62,54	62,19	8,09	8,18	6,62	6,72	172173	87 - 8 9
6 6, 3 3	67,27	C ₁₃ H ₂₁ O ₃ N	65,24	64,92	8,84	8,84	5,85	5,58	116—117	111-113
61,71	62 ,6 7	C ₁₂ H ₁₉ O ₃ N	53,9 8	6 3 , 3 5	8,48	8,37	6,21	6,55	149-150	105-107
70,95	71,89	C ₁₄ H ₂₃ O ₃ N	66,37	66,63	9,15	9,17	5.52	5,31	75 (мок- рые кри- сталлы)	

66,39	67,63	C ₁₃ H ₂₁ O ₃ N	o5,24	65,12	8,84	8,87	5,85	5,98	125—127	152
75,57	77,10	C ₁₅ H ₂₅ O ₃ N	67,38	67,53	9,42	9.59	5,23	5,03		-
66,33	67,48	C ₁₃ H ₂₁ O ₃ N	65 24	65,00	8,84	8,90	5.85	5.80	130—132	-
75,57	76,43	C ₁₅ H ₂₅ O ₃ N	67,38	67,14	9,42	9,13	5,23	5,03		-
66,33	67,33	C ₁₃ H ₂₁ O ₃ N	65,24	64,92	8,84	8,91	5,85	5,81	136—137	129
75,57	76,53	C ₁₅ H ₂₅ O ₃ N	67,3 8	66,92	9,42	9,56	5,23	5,30	132	126
70,27	72,51	C13H22O3N2	61.40	61,53	8,72	8,96	11,01	10,84	103	22 K
88,74	89,58	C ₁₇ H ₃₀ O ₃ N ₃	65,78	6 5,59	9,74	9,52	9,02	8,93	99-100	193

	R	R"	Выход в 0,0
-CH ₂ -C	CH ₃ —	CH ₃ —CH ₂ — CH ₃ —CH ₂ — CH ₃ —CH ₂ — CH ₃ —CH ₂ —	95,8 95,1 95,3 94,8 13,6 93,1 94,4 94,2 95,4
CH ₃ —CH ₂ —CH ₂ —CH—	СН _в —	CH ₃ -CH ₂ -	94.7
-CH ₂ -CH ₂ -CH-CH ₃	CH ₃ -CH ₂ -	CH ₃ —	94,1
-CH ₂ -CH ₂ -CH-	CH ₃ -CH ₂ -	CH ₃ CH ₂ —	93,2

R' -R"

Темпера тура плавле-	M	Эмпирическая формула	Анализ в 96 Ј			
ния в °С			вычислено	найдено		
191—192 99—10 149—150 147—149 195—196 145—146 106—107 149—150 168—170	339,1 353,2 367,2 381,2 367,2 381,2 395,2 367,2	$C_{13}H_{18}O_{3}NJ$ $C_{12}H_{20}O_{3}NJ$ $C_{13}H_{22}O_{3}NJ$ $C_{14}H_{24}O_{3}NJ$ $C_{12}H_{20}O_{3}NJ$ $C_{15}H_{22}O_{3}NJ$ $C_{14}H_{24}O_{3}NJ$ $C_{15}H_{26}O_{8}NJ$ $C_{13}H_{22}O_{3}NJ$	37,41 35,93 34,55 33,28 35,93 34,55 33,28 32,10 34,55	37,13 35,71 34,19 33,01 35,68 31,22 33,00 31,86 34,35		
129—130	381,2	C ₁₄ H ₂₄ O ₃ NJ	33,28	32,93		
147—148	395,2	C ₁₅ H ₂₆ O ₃ NJ C ₁₆ H ₂₈ O ₃ NJ	32,10	31,90		

		в Темпера					Анализ	В 96
- X	R'	R"	m	Темпера тура плавле-	M	Эмпирическая формула	J	
			Выход	ния в °С			вычислено	найдено
-CH ₈ -CH ₈	CH ₃ -	CH ₃ -	95,8	191—192	339,1	C ₁₁ H ₁₈ O ₃ NJ	37,41	37,13
-CH ₂ -CH ₂	CII ₂ —	CH ₃ -CH ₂ -	95,1	99—110	353,2	$C_{12}H_{20}O_{3}NJ$	35,93	35,71
. — CH ₂ —CH ₂	CH ₃ -CH ₂ -	CH ₃ —	95,3	149—150	367,2	$C_{13}H_{22}O_3NJ$	34,55	34,19
-CH ₂ -CH ₂	CH ₃ - CH ₂ CH ₃	CH ₃ —	13,6	147—149 195—196	381,2	$C_{14}H_{24}O_{3}NJ$ $C_{12}H_{20}O_{3}NJ$	33,28	33,01 3 5,68
-CH2-CH2-CH2-CH2-CH2-CH2-CH2-CH2-CH2-CH2-CH2-CH2-CH2-CH2-CH2-CH2-CH2-CH2-CH2-CH2-CH2-CH2-CH2-CH2-CH2-CH2-CH2-CH2-CH2-CH2-CH2-CH2-CH2-CH2-CH2-CH2-CH2-CH2-CH2-CH2-CH2-CH2-CH2-CH2-CH2-CH2-CH2-CH2-CH2-CH2-CH2-CH2-CH2-CH2-CH2-CH2-CH2-CH2-CH2-CH2-CH2-CH2-CH2-CH2-CH2-CH2-CH2-CH2-CH2-CH2-CH2-CH2-CH2-CH2-CH2-CH2-CH2-CH2-CH2-CH2-CH2-CH2-CH2-CH2-CH2-CH2-CH2-CH2-CH2-CH2-CH2-CH2-CH2-CH2-CH2-CH2-CH2-CH2-CH2-CH2-CH2-CH2-CH2-CH2-CH2-CH2-CH2-CH2-CH2-CH2-CH2-CH2-CH2-CH2-CH2-CH2-CH2-CH2-CH2-CH2-CH2-CH2-CH2-CH2-CH2-CH2-CH2-CH2-CH2-CH2-CH2-CH2-CH2-CH2-CH2-CH2-CH2-CH2-CH2-CH2-CH2-CH2-CH2-CH2-CH2-CH2-CH2-CH2-CH2-CH2-CH2-CH2-CH2-CH2-CH2-CH2-CH2-CH2-CH2-CH2-CH2-CH2-CH2-CH2-CH2-CH2-CH2-CH2-CH2-CH2-CH2-CH2-CH2-CH2-CH2-CH2-CH2-CH2-CH2-CH2-CH2-CH2-CH2-CH2-CH2-CH2-CH2-CH2-CH2-CH2-CH2-CH2-CH2-CH2-CH2-CH2-CH2-CH2-CH2-CH2-CH2-CH2-CH2-CH2-CH2-CH2-CH2-CH2-CH2-CH2-CH2-CH2-CH2-CH2-CH2-CH2-CH2-CH2-CH2-CH2-CH2-CH2-CH2-CH2-CH2-CH2-CH2-CH2-CH2-CH2-CH2-CH2-CH2-CH2-CH2-CH2-CH2-CH2-CH2-CH2-CH2-CH2-CH2-CH2-CH2-CH2-CH2-CH2-CH2-CH2-CH2-CH2-CH2-CH2-CH2-CH2-CH2-CH2-CH2-CH2-CH2-CH2-CH2-CH2-CH2-CH2-CH2-CH2-CH2-CH2-CH2-CH2-CH2-CH2-CH2-CH2-CH2-CH2-CH2-CH2-CH2-CH2-CH2-CH2-CH2-CH2-CH2-CH2-CH2-CH2-CH2-CH2-CH2-CH2-CH2-CH2-CH2-CH2-CH2-CH2-CH2-CH2-CH2-CH2-CH2-CH2-CH2-CH2-CH2-CH2-CH2-CH2-CH2-CH2-CH2-CH2-CH2-CH2-CH2-CH2-CH2-CH2-CH2-CH2-CH2-CH2-CH2-CH2-CH2-CH2-CH2-CH2-CH2-CH2-CH2-CH2-CH2-CH2-CH2-CH2-CH	CH ₃ —	CH ₃ -CH ₂ -	93,1	145 – 146	367,2	$C_{13}H_{22}O_{3}NJ$	35,93 34,55	31,22
$-CH_2-CH_2-CH_2-$	CH ₃ CH ₂ -	CH ₃ -	94.4	106-107	381,2	C ₁₄ H ₂₄ O ₃ NJ	33,28	33,00
-CH ₂ -CH ₂ -CH ₂ -	CH ₃ - CH ₂ -	CH ₃ —CH ₂ —	94.2	149—150	395,2	C ₁₅ H ₂₆ O _B NJ	32,10	31,86
-CH ₂ -CH ₂ -CH-	CH ₃ —	CH ₃ —	95,4	168—170	367,2	C131122O3NJ	34,55	34,35
ĊH _s								
-CH ₂ -CH ₂ -CH-	CH ₃ —	CH ₃ CH ₂	94,7	129—130	381,2	C ₁₄ H ₂₄ O ₃ NJ	33,28	32,93
CH ₃								-
-CH ₂ -CH ₂ -CH-	CH3-CH2	CH ₃ —	94,1	112—114	395,2	C ₁₅ H ₂₆ O ₃ NJ	32,10	31,90
CH ₃								
-CH ₂ -CH ₂ -CH-	CH ₃ -CH ₂ -	CH ₃ CH ₂ —	93,2	147—148	409,3	C ₁₈ H ₂₈ O ₃ NJ	31,00	30,74
CH ₃								

		the state of the s	
X	R'	R"	Выход в 0/0
-CH ₂ -CH-CH- CH ₃ CH ₃	CH ₃ —	CH ₃ -CH ₂ -	90,9
-CH ₂ -CH - CH-	CH ₃ -CH ₂ -	CH ₈ —	92,6
CH ₃ CH ₈ -CH ₂ -CH-CH- CH ₃ CH ₈	CH ₃ -CH ₂ -	CH ₈ —CH ₂ —	92,1
CH ₃ —CH ₂ —C—CH ₃ — CH ₃ CH ₃	CH.,—	CH ₃ —	94,8
CH ₂ C - CH ₂	CH ₃ —	CH ₃ —CH ₂ —	94,4
CH ₃ CH ₃ -CH ₃ -C-CH ₃ CH ₃ -C-CH ₃	CH ₃ -CH ₂ -	CH _a —	92,3

THE RESERVE AND ADDRESS OF THE PERSON NAMED IN COLUMN TWO IS NOT THE PERSON NAMED IN COLUMN TWO IS					
		Анализ	B ⁰ / ₀		
M		J			
	формула				
		вычислено	найдено		
395,2	C ₁₅ H ₂₆ O ₃ NJ	32,10	31,84		
- F -		127 0			
409,3	C ₁₈ H ₂₈ O ₈ NJ	31,00	30,72		
423,3	C ₁₇ H ₈₉ O ₈ NJ	29,97	29,71		
381,2	C ₁₄ H ₂₄ O ₃ NJ	33,28	32,99		
	The state of the state of				
305.9	C H. O NI	22 10	31,87		
030,2	C151126O3143	32,10	51,01		
409.3	C16H28O2NJ	31,00	30,89		
	When				
	409,3 423,3 381,2	формула 395,2 С ₁₅ H ₂₆ O ₃ NJ 409,3 С ₁₆ H ₂₆ O ₃ NJ 423,3 С ₁₇ H ₈₀ O ₂ NJ 381,2 С ₁₄ H ₂₄ O ₃ NJ 395,2 С ₁₅ H ₂₆ O ₃ NJ	формула 395,2 С ₁₅ H ₂₆ O ₃ NJ 32,10 409,3 С ₁₆ H ₈₆ O ₆ NJ 31,00 423,3 С ₁₇ H ₈₆ O ₈ NJ 29,97 381,2 С ₁₄ H ₈₄ O ₃ NJ 33,28		

X	R'	R"			
CH ₃ -CH ₂ -C-CH ₃ - CH ₃	CH ₃ —CH ₃ —	CH ₃ - CH ₂ -			
-CH-CH ₂ -N-CH ₃ -CH ₂ -CH ₃ -CH ₃	CH ₃ —	CH ₃ —			
-CH - CH ₂ -N-CH ₂ -CH ₃ -CH ₃ -CH ₃ -CH ₃ -CH ₃	CH ₃ —	CH ₈ -CH ₂ -			
CH ₂ -CH ₃ -CH ₂ -CH ₃ -CH ₂ -CH ₃ -CH ₂ -CH ₃	CH ₃ - CH ₂ -	CH ₃ –			
-CH ₂ -CH ₃	CH ₃ -CH ₂ -	CH ₃ —CH ₂ —			

100		+/	,R'
-0-	- X		
0	-	3-	R'

0/			Анализ в ⁰ / ₀	B 0/0	
Темпера- тура плавле-	м	Эмпирическая формула	J		
Выхо	плавле- ния в °C		вычислено	найдено	
91,9	129—130	423,3	C ₁₇ H ₃₀ O ₃ NJ	29,97	29,76
90,8	206—207	538,2	C15H28O8N2J2	47,15	46,91
91,7	130—131	566.2	C ₁₇ H ₃₁ O ₃ N ₃ J ₃	44,82	44,62
51,1	100 - 101	300,2	C171131031133	14,02	11,02
270				40.70	
91,6	108—109	594,3	C ₁₉ H ₃₆ O ₃ N ₂ J ₂	42,70	42,51
90,9	148150	622,3	C31H40O3N3J3	40,78	40,54

уменьшенном давлении (водоструйный насос), излишек хлористого тионила, бензол и остаток перегоняют в вакууме, собирая вещество, кипящее при $91-92^\circ/35$ мм. Отогнанное вещество полностью кристаллизуется; т. п. $30-53^\circ$.

Выход 12,6—13,3, или 87,5—92,3% теории.

Диалкиламиноалкиловый эфир 5-метилфуран - 2-карбоновой кислоты. К раствору 14,5 г (0,1 моля) хлорангидрида 5-метилфуран-2-карбоновой кислоты в 40 мл сухого бензола, при охлаждении и помешивании, прибавляют раствор (0,1 моля) аминоспирта в 40-50 мл сухого бензола. Нагревают на водяной бане в течение 4 часов, по охлаждении обрабатывают $10^{0}/_{0}$ раствором соляной кислоты до кислой реакции на конго и отделяют бензольный слой. Водный слой насыщают карбонатом натрия и, прилив 2-3 мл раствора едкого натра, многократно экстрагируют эфиром. Соединенные эфирные экстракты высушивают над прокаленным сернокислым натрием, отгоняют растворитель и остаток перегоняют в вакууме.

Хлоргидрат аминоэфира. К эфирному раствору аминоэфира при охлаждении и помешивании приливают эфирный раствор хлористого водорода до слабо кислой реакции на лакмус. Выделившийся осадок отфильтровывают и тщательно промывают абсолютным эфиром.

Модалкилат аминоэфира. К эфирному раствору аминоэфира приливают алкилиодид, взятый с избытком. При стоянии выпадает осадок, который отфильтровывают, тщательно промывают абсолютным эфиром. Перекристаллизацию производят из ацетона, метилового спирта, этилацетата или хлороформа.

Выводы. 1. Найден сравнительно простой и доступный метод синтеза 5-метилфуран-2-карбоновой кислоты, основанный на хлорметилировании алкиловых эфиров фуран-2-карбоновой кислоты.

- 2. Синтезировано 14 аминоэфиров 5-метилфуран-2-карбоновой кислоты с целью изучения их фармакологических свойств
- 3. Получено 14 хлористоводородных солей и 28 иодалкилато в аминоэфиров.

u · L · ሆኒՋበՅԱՆ, Վ · Գ · ԱՖՐԻԿՅԱՆ ԵՎ ሆ · Տ · ԳՐԻԳՈՐՅԱՆ

Հետազոտություն ֆուրանի ածանցյալների բնագավառում

Հաղորդում XIII. 5-մեթիլֆուրան -2-կարբոնաթթունների մի բանի ամինոէսթերների սինթեզը

Ինգի և նրա աշխատակիցների հետադոտությունները¹) տրիմեթիլֆուրֆուրիլամոնիումյոդիտի ֆուրմնտիգի» (1) և 5-մեթիլֆուրֆուրիլտրիմեթիլամոնիումյոդիտի (II) կառուցվածքի և սլարասիմսլատոմիմետիկ հատկություններ կապի վերաբերյալ ցույց ավեցին, որ 5-մեթիլտեղակալված ածանցյալները իրենց ակտիվությամբ դերադանցում են ֆուրմետիդին: Այս տեսակետից հետաքրքիր էր նախկինում ստացված¹) ֆուրան-2կարբոնաթթվի ամինոէսթերների (III) հետ մեկտեղ սինթեղել համապատասխան 5-մեթիլտեղակալված ամինոէսթերներ և ուսումնասիրել ու համեմատել դանգլիոնար սինապու ները թլոկադայի ենթարկելու, ինչպես նաև դանգլիաների միջով ներվային իմպուլսների հաղորդականությունը արդելակելու նրանց կարողությունը։

Մեր աշխատան բենի համար անհրաժեշտ Ծ-մեթիլֆուրան կարրոնաթթվի սինթեզի վերաբերյալ գրականության ժեջ նկարագրված են մի շարբ մեթողներ (3-6), սա-կայն ստացման այդ ճանապարհները գործնական տեսակետից հետաքրթրություն չեն ներկայացնում ելանյութերի անմատչելիության և ցածր ելբերի պատճառով։

5-մեթիլֆուրանկարբոնաթթվի ստացման ամար պրեպարատիվ մեթոդ մշակելու Նպատակով մենք ուսումնասիրեցինք մատչելի ելանյութ հանդիսացող 5-քլորմեթիլֆուրան-2-կարրոնաթթուների էսթերների(՟) վերականդման մի քանի ճանապարհներ։

Պարդվեց, որ ցինկի և քացախաԹԹվի միջոցով այդ վերականդնումը հնարավոր է տանել 83%,, իսկ ստացված էսԹերի սապոնացումը 87%, նյքով։

Սին Թեղված ամինոէս Թերների և նրանց Ջրում լուծելի աղերի՝ քլորհիդրատների, յողմե Թիլատների ու յողէ Թիլատների մի քանի ֆիզիկո-քիմիական հատկությունները բերված են 1 և 2 աղյուսակներում։ Ֆարմակոլոդիական հետադոտությունների արդյունք-ները կհրապարակվեն առանձին։

Եղրակացություններ 1. Մշակված է 5-մեթիլֆուրան-2-կարթոնաթթվի ստացման սլարզ և մատչելի եղանակ, որը հիմնված է ֆուրան-2-կարթոնաթթվի էսթերների թյորմեթիյացման վրա։

- 2. Ֆարմակոլոդիական հատկությունները ուսումնասիրելու նպատակով սինթեզված են 5-մեթիլֆուրան-2- կարբոնաթթվի 14 ամինոէսթերներ։
 - 3. Ստացված են այդ ամինոէսթերների 14 քյորհիդրատները և 28 յոդալկիլատները։

ЛИТЕРАТУРА — ԳՐԱԿԱՆՈՒԹՅՈՒՆ

1 Г. Инг., Р. Кордик, Т. Вилямс. Brit. J. Pharmac. and Chemoter. 7, № 1. 103, (1952). 2 А. Л. Миджоян и М. Т. Григорян. ДАН АрмССР, XVII, 107, (1953). 3 Хил, Дженингс, Ат. Chem. J. 15, 167 (1893). И. Ринкс, Rec. trav. Chim. 49, 1118 (1930), С. А. 950 (1931). 4 К. Маскава, Ј. Fac. Agr. Kyushu Univ. 9, 149 (1949) С. А. 48, 2029 (1954). 5 И. Вилард., К. Гамильтон, Ат. chem. Soc. 51, 3131 (1929). 6 В. Кирнер, Г. Рихтер, Ат. chem. Soc. 51, 3131, (1929), М. Ранд., Е. Скот, Ат. chem. Soc. 52, 1284 (1930). 7 А. Л. Миджоян, В. Г. Африкян и М. Т. Григорян, ДАН АрмССР, XVII, 97 (1953). 8 А. Л. Миджоян, В. Г. Африкян, М. Т. Григорян, ДАН АрмССР XVII, 165 (1953).



ПЕТРОГРАФИЯ

С. И. Баласанян

Необычное поведение биотита в схеме кристаллизации породообразующих минералов

(Представлено С. С. Мкртчяном 10.111.1957)

Наши наблюдения над структурными взаимоотношениями породообразующих минералов позволили установить, что в третичных интрузивных породах Центральной Армении биотит обнаруживает необычное поведение, не укладывающееся в рамки реакционной схемы последовательности Боуэна (1).

Интрузивные породы Центральной Армении представлены почти всеми главнейщими типами глубинных пород, которые обладают некоторыми общими признаками, указывающими на единство магматического очага (2). Внедрение магмы из очага происходило в последовательности от основных к кислым и от последних к щелочным. Образование биотита имело место в течение всей эволюции магмы, он кристаллизовался во всех последовательно внедрившихся интрузивных породах.

Как известно, по реакционной схеме Боуэна биотит выделяется после амфиболов и до калиевого полевого шпата. Однако в большинстве последовательно формировавшихся членах третичного интрузивного комплекса Центральной Армении биотит проявил тенденцию образоваться на всем протяжении кристаллизации минералов прерывного ряда схемы Боуена после ромбических пироксенов. Такое необычное поведение биотита весьма ярко выражено в гранитоидах, пользующихся наибольшим площадным распространением и характеризующихся большим содержанием биотита. В гранитоидах присутствуют три темноцветных минерала: пироксен, амфибол1 и биотит. Увеличение количества биотита сопровождается уменьшением содержания амфибола. Это приводит к образованию пироксен-амфиболовой и пироксен-биотитовой разности. В последней разности моноклинный пироксен непосредственно замещается биотитом, минуя амфиболовую стадию (рис. 1). Нередко в одном и том же шлифе некоторая часть пироксена замещается биотитом, а другая — амфиболом. В таком случае логично предполагать одновременное выпадение биотита и амфибола после выделения пироксена. В одном и том же шлифе иногда одновременно встречаются следующие реакционные ряды: моноклинный пироксен -- биотит; моно-

¹ Амфибол представлен обыкновенной роговой обманкой.

клинный пироксен → амфибол; моноклинный пироксен — амфибол → биотит. Из этих трех реакционных рядов видно, что биотит кристаллизовался совместно с амфиболом и после него. В некоторых биотит-ам-

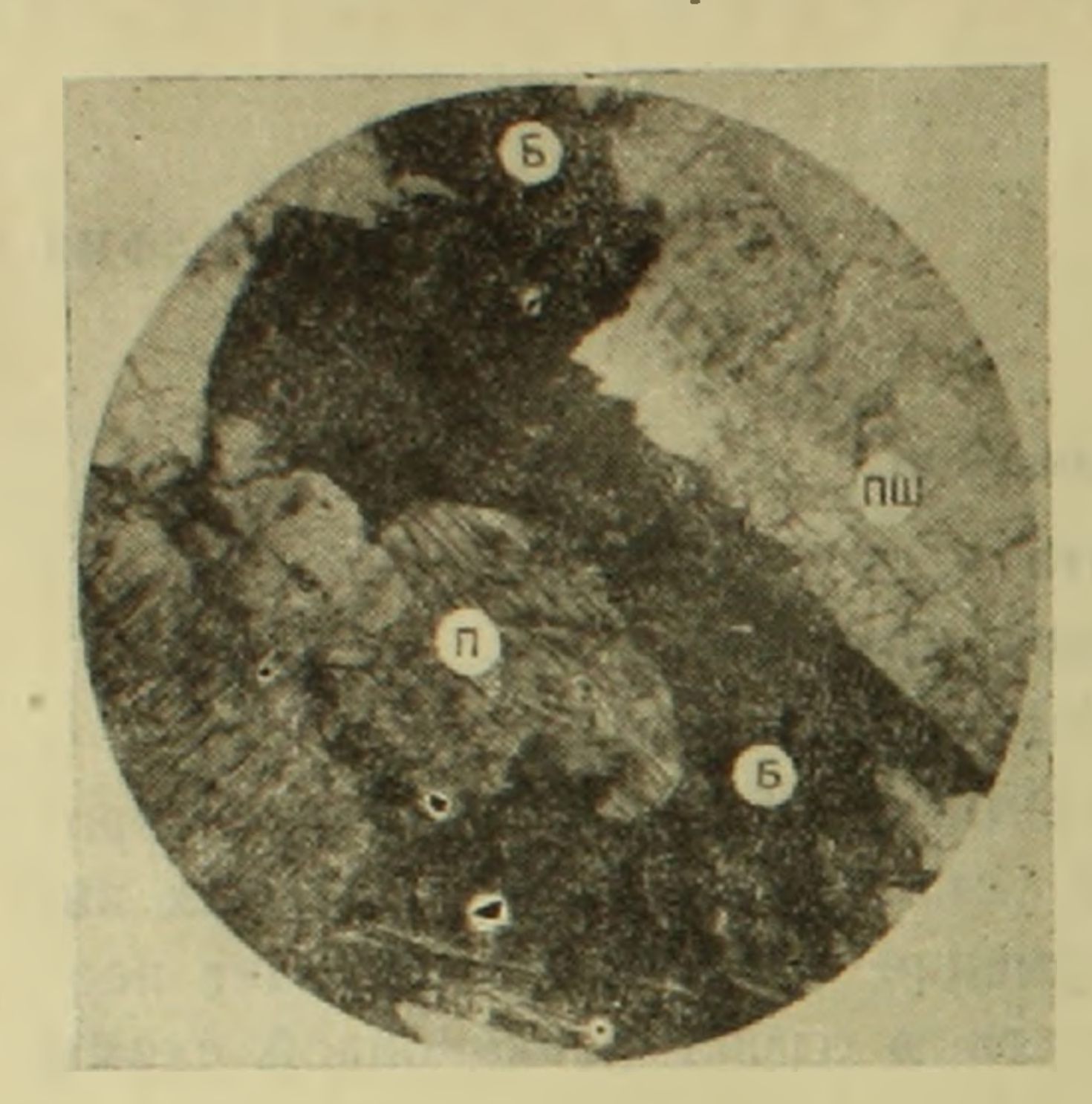


Рис. 1.

фиболовых разностях (биотит пребладаєт над амфиболом) биотит, включающий в себя разъеденные реликты моноклинного пироксена, замещается амфибиолом. Очевидно, что биотит выделился раньше амфибола и энерзамещал моноклинный ГИЧНО пироксен. Отмечаются также случаи, когда корродированный биотит включен в амфибол (рис. 2). Ясно, что и в этом случае биотит является более ранним выделением по отношению к амфиболу. Об этом свидетельствует также наличие незамещенных

разъеденных реликтов биотита в амфиболе. В пироксен-амфибол-биотитовой разности наблюдается такой необычный реакционный ряд: моноклинный пироксен → биотит → амфибол. Это иллюстрируется на снимке (рис. 3), где пироксен замещается биотитом, а последний за-

мещается в свою очередь амфиболом. Как видно из снимка. амфибол энергично замещает биотит по его трещинам спайности. В некоторых случаях биотит, замещая моноклинный пироксен, сам в свою очередь замещается амфиболом и биотитом более молодого поколения. Следовательно, биотит выделился до амфибола и частично совместно с ним. Было констатировано нахождение идиморфного биотита внутри моноклинного пироксена, замещающегося биотитом поздней генерации. Иногда с таким ранним биотитом, располагающимся в пироксене, ассоцируются

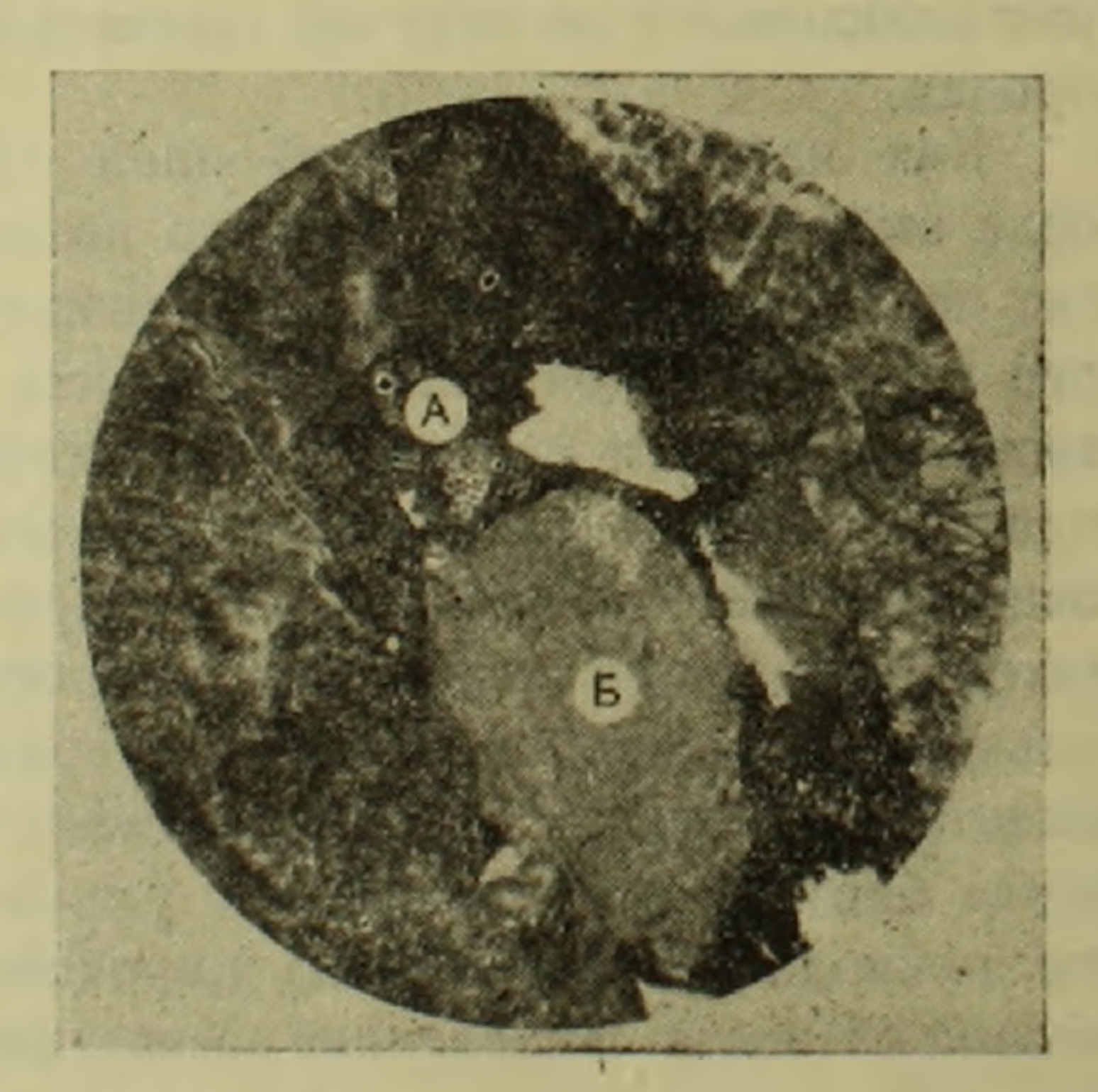


Рис. 2.

хорошо образованные кристаллы магнетита. В последних случаях мы имеем такой необычный реакционный ряд: биотит→моноклинный пироксен → биотит, т. е. кристаллизация биотита имела место как до выделения пироксена, так и после него.

В кислых гранитоидах биотит нередко представлен ксеноморфными зернами, приуроченными к интерстициям калиевого полевого шпата. Отмечаются также случаи пересечения калиевого полевого шпата биотитом. Последний иногда ксеноморфный по сравнению с первым. В одном и том же шлифе часто биотит, наряду с бесформенными зернами, образует более крупные идиоморфные кристаллы.

В монцодиоритах встречаются сложные реакционные ряды:

- 1) моноклинный пироксен амфибол биотит
- 2) ромбический пироксен → моноклинный пироксен биотит
- 3) ромбический пироксен амфибол биотит

В первом ряду моноклинный пироксен одновременно замещается биотитом и амфиболом, а последний в свою очередь замещается био-

титом. Можно предполагать, что биотит либо кристаллизовался после амфибола с частичным замещением пироксена, либо с амфиболом и после него. Во втором ряду ромбический пироксен одновременно замещается моноклинным пироксеном и биотитом, а в третьем ряду-биотитом и амфиболом. Во втором ряду биотит выделился совместно с моноклинным пироксеном. Здесь кристаллизация биотита после выделения моноклинного пироксена должна быть исключена, так как в таком случае биотит замещал бы скорее всего моноклинный пироксен.

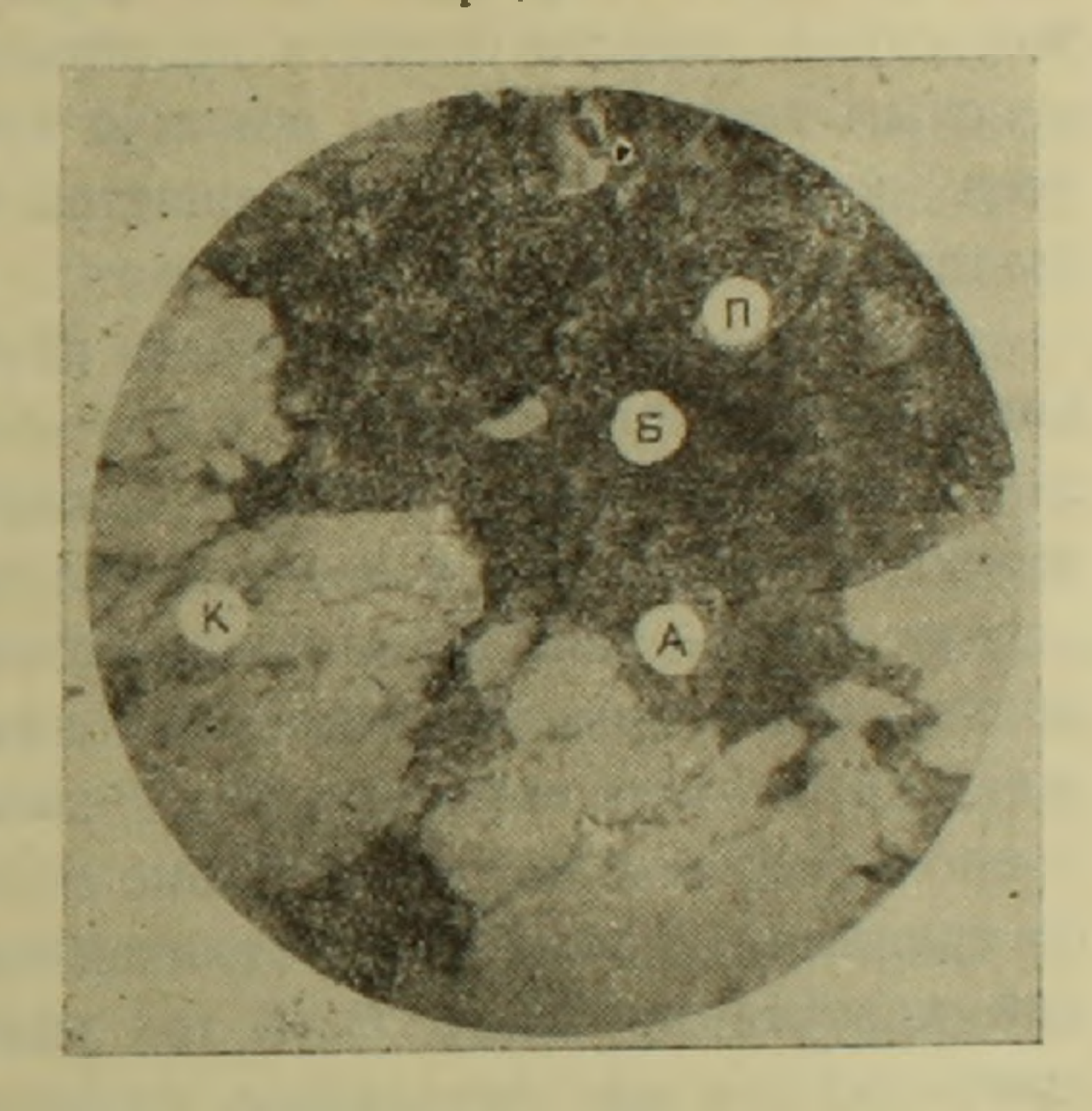


Рис. 3.

Такое рассуждение справедливо и для третьего ряда, где, по-видимому, биотит кристаллизовался совместно с амфиболом.

Сводя воедино вышеизложенные данные, полученные из наблю-

дений над реакционными взаимоотношениями породообразующих минералов гранитоидов Центральной Армении, можно прийти к выводу, что кристаллизация биотита начинается после выделения ромбических пироксенов и продолжается до образования свободного кварца. Сказанное можно представить изображенной схемой.

В пироксен-биотитовой разности гранитоидов биотит кристаллизовал-

ся после моноклинного пироксена, поэтому на схеме между моно-клинным пироксеном и амфиболом включен биотит, как особый случай.

О необычном поведении биотита отметил также А. И. Волженков (3). Он, рассматривая реакционные взаимоотношения, сопровождающие кристаллизацию гранитной магмы, указал, что биотит может кристаллизоваться раньше плагиоклаза, позднее его, после калиевого полевого шпата и даже после первых выделений зерен кварца в гранитах, богатых кварцем. Это указание А. И. Волженкова нашими наблюдениями в основном подтверждается. Однако мы должны добавить к этому указанию то, что биотит может кристаллизоваться не только раньше плагиоклаза, но и раньше амфибола и моноклинного пироксена. По мнению А. И. Волженкова начальный момент кристаллизации биотита определяется повышенным содержанием железа и магния в магме. Однако такая трактовка не объясняет, почему в таком случае вместо биотита не образуется роговая обманка. Остается неясным также, по какой причине в нашем случае моноклинный пироксен непосредственно замещается биотитом, минуя амфиболовую стадию.

На наш взгляд, необычное поведение биотита можно объяснить повышенной концентрацией в магме не только железа и магния, но и калия, при обязательном ничтожном содержании натрия. Нехватка натрия и значительное содержание калия, железа и магния предопределяют более раннее выделение биотита. Такое предположение подкрепляется данными химических анализов (4). В подавляющем большинстве случаев в интрузивных породах Центральной Армении калий преобладает над натрием. Кроме того, почти все породы сравнительно со средними типами Дэли отдичаются повышенным значением числовой характеристики в (4). В тех разностях пород, в которых количество натрия было ничтожное, амфибол почти не образовался и потому моноклинный пироксен непосредственно замещался биотитом.

Вопрос о том, почему иногда биотит предшествует амфиболу (оба минерала присутствуют в породе одновременно), по нашему мнению, можно объяснить с точки зрения геоэнергетической теории. Установлено, что энергия кристаллической решетки минералов в известной мере определяет время и место их выделения из магмы. Энергия кристаллической решетки является функцией зарядов нонов и их радиусов. Для вычисления энергии кристаллической решетки сложных соединений Е. С. Ферсманом (5.6) была выведена следующая формула:

$$U = 256.1 (a3K_1 + s3K_2 + c3K_3 + \cdots),$$

где U — энергия кристаллической решетки, 256,1 — коэффициент Капустинского, a, a, c, — числа катионов и анионов в молекуле, 3K — энергенический коэффициент ионов. Порядок кристаллизации главных минералов протокристаллизации, τ . e. оливин \rightarrow пироксен \rightarrow амфибол \rightarrow \rightarrow биотит \rightarrow калиевый полевой шпат \rightarrow кварц, в основном совпадает с понижением энергии кристаллической решетки. Для важнейших ио-

нов, слагающих минералы протокристаллизации, можно написать следующий ряд в порядке уменьшения ЭК (6):

Ионы — K Na Ca Mg Fe" Fe" Al Si [SiO₄]⁴⁻]AlO₄]⁶ ЭК — 0,36 0,45 1,75 2,10 2,12 5,15 4,95 8,60 2,75 4,0

Известно, что биотит является минералом, химический состав которого весьма непостоянен (2). Химические анализы показали следующие колебания его состава (в $^{0}/_{0}$): $K_{2}O$ 6,18—11,43; MgO 0,28—28,34; FeO 2,74—27,60; Fe $_{2}O_{3}$ 0,13—20,65; Al $_{2}O_{3}$ 9,43—31,69; SiO $_{2}$ 32,83—44,94. Непостоянен также химический состав амфибола (роговой обманки), причем широко меняются отношения магния к двухвалентному железу и алюминия к трехвалентному железу (7).

Из вышеприведенных данных легко убедиться, что широкие колебания состава биотита и амфибола создают возможность такого количественного сочетания ионов в обоих минералах, которое может привести к увеличению энергии кристаллической решетки биотита по отношению к амфиболу. Предшествование биотита амфиболу (если оба они присутствуют в породе одновременьо), вероятно, объясняется указанным сочетанием ионов—с одной стороны, преобладанием калия над натрием в магме— с другой. В данном случае сочетание должно выразиться в увеличении ионов высоких эк-ов (Al, Fe...) в биотите и наоборот—меньших эк-ов в амфиболе. Видимо, в кристаллической решетке биотита ранних стадий происходит также увеличение комплексного аниона [Al₂O₄]^{5—}, так как его величина эк-а значительно высока по сравнению с комплексным анионом [SiO₄]^{4—}. Можно предполагать, что энергия кристаллической решетки разновременно кристаллизующегося биотита различна и обусловлена теми же причинами.

Таким образом, необычное поведение биотита в схеме кристаллизации породообразующих минералов объясняется его переменным составом, химической природой магмы и ее развитием в конкретных геологических условиях во времени и пространстве.

Ереванский государственный университет им. В. М. Молотова

U. Ի. ԲԱԼԱՄԱՆՑԱՆ

Բիոտիտի անսովոր վարքը ապար կազմող միներալների բյուրեղացման սխեմայում

նքի արվավանը էսաւրրի ոխըզայի շենարանրընաւը։ Հասանի իրանաշնիվ տատերբևաւց երախան ձաշձաերևուց է արոսվան վաևճ՝ սեն շի նարասինաւթյաւրն հրաշին է ավեն չառատարն՝ սե նրրանարարար Հայաստարի բևնանարար Ծառանակար կամում դիրբևանրընի ոտնաւնասենային փոխչանաերնաւթյաւրընկ սեռույ-

դերաևսրակար էա հատարի իրաևսոնիվ ապանդենը ասաչաձբն բը սևսչանի չաչսև-

քատանվել է ղաժղայի բվոլյուցիայի աղեսմճ նյւթյացեսուլ։

Հոտ Բոուննի ոխնմայի բիռտիտը անջատվում է ամֆիրոլից հնտո, բայց մինչև կալիումի դաչտային չպատի առաջացումը։

թիոտիտի մեծ պարունակությամբ։ Սակայն ինտրուղիվ ապարների րազմաթիվ տարբերակներում բիոտիտի առաջացումը կատարվել է Իոուենի սխեմային պիրոքսեններից հետո։ Բիոտիտի այղսիսի անսովոր ցումը կատարվել է Իոուենարանայայտված է դրանիտոիդներում, որոնք ընութագրվում են

Ա. Ի. Վոլժենկովը թննարկելով ռեակցիոն փոխհարարերությունները դրանիտային ապարներում նչել է, որ - րիոտիտը կարող է րյուրեղանալ պլազիոկլագից առաջ, նրանից հետո, կալիումի դաչտային շպատից հետո և անղամ կվարցի առաջին հատիկներից հետո։

Ա. Ի. Վոլժենկովը րիոտիտի սկզրնական թյուրեղացումը րացատրում է մադմայի ժեն երկաթի և մադնեզիումի մեծ պարունակությամր։ Սակայն այդպիսի մեկնաբանությունը չի պատասխանում այն հարցին, թե ինչու այդ դեպքում թիոտիտի փոխարեն չի առանանում հորնթլենդ։

Անչասկանալի է դառնում նաև Թե ինչու մոնոկլինային պիրոքսենը անմիջականորեն տեղակալվում է թիութիտով չանցնելով ամֆիրոլային էտապով։

Բիոտիտի անսովոր վարքը հեղինակը րացատրում է մագմայի մեջ ոչ միայն երկա-Թի և մագնեգիումի րարձր պարունակությամբ, այլ նաև կալիումի մեծ կոնցենտրացիայով և նատրիումի չնչին քանակությամբ:

Այսպիսի ենթադրությունը հաստատվում է նաև ապարների ըիմիական անալիդի

Այն դարցը ին ինչու երբեմն բիոտիտը րյուրեղանում է ամֆիրոլից առաջ (երբ 2 միներայներն էլ միաժամանակ դտնվում են ապարում) կարելի է բացատրել գեռէներ-գետիկ ինորիայի տեսակետից։ Որովհետև բիոտիտը և ամֆիրոլը հանդիսանում են փոփոխական կազմի միներայներ, այդ պատճառով նրանց մեջ հնարավոր է իոնների այնպիսի ղուղակցություն, որ կարող է տանել դեպի բիոտիտի թյուրեղադիտական ցանցի էներդիայի մեծացումը ամֆիրոլի նկատմամբ։ Պարդ է, որ այս դեպքում բիոտիտը պետ է անջատվի մինչ ամֆիրոլի բյուրեղացումը։

Շատ հավանական է, որ սկզբնական ստադիայի բիոտիտի բյուրեղագիտական ցանցում տեղի է ունենում $|AlO_4|^5$ — կոմսլլեքսային անիոնի մեծացում, որովհետև նրա էներդետիկ գործակիցը զդալի մեծ է $|SiO_4|^4$ -- կոմսլլեքսային անիոնի նկատմամը։

ЛИТЕРАТУРА — ԳՐԱԿԱՆՈՒԹՅՈՒՆ

1 Н. Л. Боуэн, Эволюция изверженных пород. Горн-геол-нефт. изд-о, 1934.
2 В. Н. Котляр, Памбакский комплекс щелочных пород. Изв. АН СССР, Сер. геол. № 2. 1945.
3 А. И. Волженков, Реакционные взаимоотношения, сопровождающие кристаллизацию гранитной магмы. Гр. ИГН АН СССР, вып. 21, 1940.
4 С. И. Баласанян, К генезису интрузивных пород Памбакского и Геджалинского хребтов. Изв. АН Арм. ССР, № 3, 1955.
5 Ферс.
4 А. А. Сауков, Геохимия, Госгеолиздат, 1950.
7 А. Г. Бетехтин, Курс минералогии. Гос. изд. геол.
лит-ы, 1951.

ФИЗИОЛОГИЯ РАСТЕНИЯ

В. О. Казарян, Г. Г. Габриелян и В. Ш. Агабабян

О связи между интенсивностью фотосинтеза и энергией возобновления хлорофилла

(Представлено Г. Х. Бунятяном 11. 111. 1957)

Зависимость фотосинтетической активности растений от условий внешней среды установлена с давних пор в физиологии растений. Кроме внешних условий, важным для энергии фотосинтеза являются и стадийное состояние ($^{1-6}$), возраст растений и их листьев ($^{6-10}$), скорость оттока ассимилятов ($^{11-14}$), степень оводнения ассимиляционной ткани ($^{5.\ 15.\ 17}$) и прочие.

Другим фактором, влияющим на интенсивность фотосинтеза, по косвенным данным, должно являться состояние хлорофиллоносного аппарата, непрерывно изменяющегося в ходе онтогенетического развития и возраста растений. В этом аспекте, в первую очередь, нужно принимать во внимание изменение прочности связи хлорофилла с белком (6, 18, 19) и его возобновляемость.

Возобновление молекул хлорофилла впервые экспериментально установлено Ру и Гюссоном (20), затем Турчиным, Гуминской и Плышевской (21). Вслед за этим Годневым и Шлыком (22) применением радиоактивного углекислого газа вновь иллюстрировано это свойство хлорофилла и на основании общей радиоактивности его даже произведены расчеты с целью установления времени, при котором осуществляется полное возобновление молекул хлорофилла *).

Исходя из имеющихся в современной физиологической литературе данных об онтогенетическом изменении, с одной стороны, количества хлорофилла ($^{23-28}$), с другой — прочности связи хлорофилла с белком ($^{6, 18, 19}$), мы предполагали, что в ходе онтогенеза должна изменяться также и энергия возобновления хлорофилла. При этом мы допускали, что онтогенетическая изменчивость фотосинте-

^{*)} В настоящем сообщении мы не прибегали к таким расчетам, считая, что интенсивность возобновления хлорофилла можно так же выявить в сравнительных опытах, проводимых одновременно при одних и тех же условиях вне зависимости от количества и активности меченого углерода.

тической активности, в первую очередь, должна быть связана с возобновлением хлорофилла, как показателем общей его жизненности.

Опыты для выяснения вышеуказанных вопросов проводились следующим образом. Листья краснолистной короткодневной периллы, взятые из вегетирующих, цветущих и отцветающих растений, черешками погружали в воду, затем переносили в газометрическую камеру с радноактивным углекислым газом, оставляя в ней в течение 64 часов, в условиях непрерывного света. По истечении этого срока листья размельчались и экстрагировались 90°/0 ацетоном (25 мл на 25 кв. см листовой площади). Для разделения хлорофилла а и в были взяты 10 мл раствора и нанесены линейно на хромотографическую бумагу с помощью специально изготовленного быстровращающегося клиностата с барабаном. В качестве растворителя была взята смесь бензина, петролейного эфира и ацетона (10:2,5:2). Разделенные на бумаге пигменты были элюированы 90 % ацетоном и высушены до получения кристаллического хлорофилла и определена радиоактивность его. Количество хяорофилла определялось перед выпариванием ацетоном с помощью фотоэлектроколориметра-нефелометра, применяя для хлорофилла a светофильтр 8, а для клорофилла b-7. Кривая составлена по стандарту Вильштетера и Штолл (29).

Кроме радноактивности хлорофилла определялась также и общая радиоактивность листовых тканей, т. е. количество поглощенной листом радиоактивной углекислоты на единицу площади. С этой целью из подопытных листьев вырезывались небольшие кружочки с помощью тоненького пробочного сверла и после высушивания производили определения их радиоактивности. Полученные данные сведены в таблицах 1 и 2.

Таблица 1 Количество хлорофилла а и в и радиоактивность листьев периллы, находящихся в фазе вегетации, цветения и отцветания

	Радиоактив-	Количеств	Ассимиля- ционное		
Фаза развития	имп/мин на 1 кв. дм лист. площ.	хлорофилл а	хлорофилл б	хлорофилл а+б	число ра- диоактив- ности*)
Вегетация	92,100	2,46	0,81	3,27	28,162
Цветение	138,000	3,45	0,87	4,32	31,944
Отцветание	168,000	2,15	0,46	2,61	64,367

Эти данные прежде всего показывают, что не наблюдается прямой зависимости между количеством хлорофилла и поглощаемого листьями радиоактивного углекислого газа, что установлено еще

⁾ Ассимиляционным числом, как известно, принято называть отношение количества ассимилированной углекислоты к количеству хлорофилла. В данном же случае взамен этого общепринятого термина условно называем ассимиляционное число радиоактивности, где количество ассимилированной углекислоты выражено в имп/мин, а количество хлорофилла в мг на 1 кв. Эм листовой площади.

раньше (30. 31. 32 и др.). Если до наступления фазы цветения имеет место увеличение как количества хлорофилла, так и фотосинтетической активности листа, то после фазы цветения наблюдается расхождение между этими двумя процессами. Теперь уже повышение фотосинтетической активности листа сочетается с уменьшением общего количества хлорофилла. Наглядным показателем этого является увеличение "ассимиляционного числа радиоактивности", от 28. 162 (вегетация) до 64. 367 (отцветание), выражено в имп/мин, т. е. более чем в 2, 2 раза. Повышение интенсивности фотосинтеза, как показывают данные следующей таблицы (табл. 2), фактически связано с энергией возобновления хлорофилла.

Таблица 2 Изменение радиоактивности хлорофилла а и б по фазам развития растений

Фаза разви-	Радиоактивность хлорофилла в имп/мин на 1 кв. дм листовой площади			за разви-	Радиоактив	в имп/мин	слифодолх
ТИЯ	хлорофилла	хлоро- филла	хлорофилла а+б	хлорофилл	хлорофилл 8	хлорофилл а+в	
Вегетация	22	543	565	8,9	670,3	172,2	
Цветение	127	646	773	36,8	742,5	178,9	
Отцветание	139	652	791	40,2	1417,4	303,0	

Величина соотношения общей радиоактивности хлорофилла к его количеству является наиболее характерным показателем энергии возобновления хлорофилла. Согласно этим данным, на каждый миллиграмм хлорофилла приходится различная радиоактивность в зависимости от фазы развития растений. При этом устанавливается, что возобновляемость молекул хлорофилла прогрессивно усиливается параллельно с наступлением фазы цветения и формирования семян при энергичном уменьшении общего количества хлорофилла. В данном случае уменьшение количества хлорофилла осуществляется не ослаблением, а усилением интенсивности его возобновления. Если на 1 мг хлорофилла в фазе вегетации приходится 172,2 имп/мин, то в фазе отцветания—303 имп/мин.

Начиная с фазы вегетации до наступления цветения и закладки семян прогрессивно нарастает общая радиоактивность листовых тканей, свидетельствуя о повышении фотосинтетической активности листьев. Параллельно с этим усиливается и возобновление хлорофилла. Такую идентичность кривых энергии фотосинтеза и возобновления хлорофилла можно лишь рассматривать как показатель зависимости фотосинтетической активности листьев от возобновления хлорофилла.

В нашем опыте экспозиция, при которой листья подвергались непрерывному световому воздействию, составляла 64 часа. За этот срок возобновление молекул хлорофилла у всех групп растений проявля-

лось с различной интенсивностью. При такой постановке опыта, конечно, трудно получить более прямые данные, непосредственно показывающие скорость полного возобновления молекул хлорофилла, хотя вышеприведенные сравнительные данные безусловно свидетельствуют о различии в скорости возобновления хлорофилла листьев, взятых из растений, находящихся на различных фазах развития. В настоящее время этот вопрос изучается нами более детально.

Приведенные в таблице данные кроме этого показывают, что совершенно различна и интенсивность возобновления хлорофилла а и в. Наиболее энергично возобновляется хлорофилл в по сравнению с хлорофиллом а. В этом отношении весьма интересны данные, показывающие радиоактивность одного мг хлорофилла а и в. Радиоактивность единицы хлорофилла в, во всех фазах развития, в среднем более чем в 20 раз больше, чем радиоактивность хлорофилла а. Это обстоятельство по-видимому можно расценивать как доказательство того, что хлорофилл в является более активным пигментом, чем а и, во-вторых, что синтез хлорофилла а и в осуществляется различными путями.

Таким образом, все эти данные в конечном счете приводят нас к выводу о том, что изменение онтогенетического равновесия синтеза и распада хлорофилла в сторону превалирования последнего происходит не путем ослабления энергии возобновления молекул хлорофилла, а путем усиления его. В результате каждая единица хлорофилла по мере старения и наступления фазы окончательного распада проявляет максимальную фотосинтетическую активность. В этом и заключается сущность усиления общей жизнедеятельности хлорофилла—повышения фотосинтетической активности по мере уменьшения количества хлорофилла в фазе цветения и образования семян. Эта особенность жизнедеятельности растений характерна как для целого организма, так и для его отдельных органов и частей.

Ботанический институт Академии наук **А**рмянской **ССР**

4. Z. ጊuԶuրցuъ, Գ. Գ. Գuբրեելցuъ եՎ Վ. Շ. uՂuբuբցuъ

Ֆոտոսինթեզի ակտիվության և քլորոՖիլի վերականգնման միջև Եղած կապի մասին

ինչպես հայտնի է թույսերի ֆոտոսինթեզի ակտիվությունը պայմանավորված է մի շարբ արտարին և ներքին դործոններով։ Բայի այդ գործոններից, ըստ կողմնակի տվյալների, ֆոտոսինթեզի ինտենսիվությունը պետք է կապված լույսի օնտողենետիկ դար~ դացման և հասակի հետ։ Այդ կապակցությամը առաջին հերթին պետք է նկատի ունենալ որորֆիլի և սպիտակուցների միջև եղած կապի կայունության փոփոխությունը և

նլննվով այս ենթադրությունից, մեր կողմից կատարվել են փորձեր կարճ օրվա կարմրատերն պերիլլայի տերմների հետ նպատակ ունենալով պարզելու քլորոֆիլի վերականդնման փոփոխությունը ոնտողեննայիկ ղարդացման տարրեր ֆադերի անցման դուդահեռ, հայաս և այդ պրոցեսի ու ֆոտոսին թետիկ ակտիվության միջն եղած կապը։ Փորձի համար վեղետացվող, ծաղկող և ծաղկաթափվող րույսերից վերցվել են միևնույն յարուսի տերեներ և տեղափոխվել զազոմետրիկ կամերան վերջինս թողնելով մբշտական լույսի տակ 66 ժամ։ Լույսային էքսալողիցիայի ընթացքում կամերայի մեջ լցվել է որոշակի կոնցենտրացիայի սագիոակտիվ ածխաթթու դաղ։ Այնունետև տերենների մի մասի մոտ որոշվել է նրանց հյուսվածքների սադիոակտիվությունը, իսկ մյուս մասից ստացվել է քլորոֆիլի ացնտոնային լուծույթ և որոշվել ինչպես ընդճանուր, այնպես էլ առումը կատարվել է ըրոմոտորրաֆիկ ևդանակով։

Ստացված տվյալները, որոնք րերված են 1-ին և 2-րդ աղյուսակներում, ցույց են տալիս, որը պետք է դիտել որսլես ապայույց այդ երկու պրոցեսների վորադար ակտիվաց-մանը, որը պետք է դիտել որսլես ապայույց այդ երկու պրոցեսների վորադար ակտիվաց-մանը, որը պետք է դիտել որսլես ապայույց այդ երկու պրոցեսների վորադար ակտիվաց-մանը, որը պետք է դիտել որսլես ապայույց այդ երկու պրոցեսների փոխադարձ պայ-մանը, որը պետք է դիտել որսլես ապայույց այդ երկու պրոցեսների փոխադարձ պայ-մանավորվածությունը:

քլորոֆիլի վերականդնման էներգիայի ամենալավ չափանիշը դա նրա ռադիռակաիվոշթյան քանակի հարարերության մեծությունն է։ Աղյուսակ 2-ի տվյալների համաձայն
գարդացման տարբեր ֆաղերում յուրաքանչյուր մգ քլորոֆիլի վրա ընկած իմպուլսների
թիվը խիստ փոփոխվում է։ Ըստ որում պարդվում է, որ ծաղկման ֆազայում քլորոֆիլի
անակական անկման ղուդահեռ ակտիվանում է նրա վերականդնման պրոցեսը։ Այսպես
որինակ՝ եթե վեդետատիվ ֆաղայում յուրաքանչյուր մդ քլորոֆիլին ընկնում է 172,2

Միանման չէ նաև ձև և ըլորոֆիլների վերականդնման ինտենսիվությունը բույսերի զարդացման տարրեր ֆազերում։ Համեմատաբար ավելի ինտենսիվ վերականգնվում է քլորոֆիլ են, քան քլորոֆիլ ձ-ն։ Այս հանդամանքը կարելի է գնահատել որպես ապա-ցույց այն րանի, որ քլորոֆիլ ն-ն հանդիսանում է ավելի ակտիվ պիդմենտ, քան քլորոֆիլ ձ-ն։ Մյուս կողմից այս ցույց է տալիս, որ այդ պիդմենտների սինթեղը իրակա-նացվում է տարրեր ճանապարհներով, չնայած մեկը մյուսի օքսիղացված ձևն է։

Այս բոլոր տվյալները վերջին հաշվով հեղինակներին բերում են այն եղրակացության, որ քլորոֆիլի քանակական փոփոխությունը ընդհանում է նրա վերականգնման ինտենսիվության և կենսունակության բարձրացման եղանակով, որով և ուժեղանում է

ЛИТЕРАТУРА— ԳՐԱԿԱՆՈՒԹՅՈՒՆ

1. В. Синг и К. Лал, Ann. Bot., 49, 194, 1935. 2 В. М. Катунский, Чзв. АН СССР, Cep. биол., 1,1939(a). 3. В. М. Катунский, Сб., посв. В. Л. Комарову, 1939(б). 4 В. М. Катунский, Сб. раб. по физ. раст. пам. Тимирязева, 1941. 5 В. А. Бриллиант. Фотосинтез как процесс жизнедеятельности растений, 1949. В. О. Казарян., Стадийность развития и старения однолетних растений, 1952. 7 И. Гувер и Ф. Густавсон, Journ. gen. Phys., 10, 33, 1926. в Ф. Ричардс, Ann. Bot., 48, 1934. в Б. Н. Макаров, ДАН СССР, 72, 1, 1950. 10 Б. Н. Макаров, ДАН СССР, 77, 3, 1951. 11 В. В. Сапожников, Образование углеводов в листьях и передвижение их по растению, 1890. 13 Л. Л. Курсанов, Planta, 20, 3, 1933. 13 А. Г. Тощевикова, Т. Бот. ин-та АН СССР, IV, 5, 1941. 18 В. А. Бриллиант. Изв. гл. Бот. сада, 24, 1925. 16 В. А. Бриллиант. ДАН СССР, 41, 1943. 17 А. М. Алексеев, Бот. журнал СССР, 20, 1935. 18 О. П. Осипова, ДАН СССР, 57, 4, 1947. 19 О. П. Осипова, ДАН СССР, 57, 8, 1947. 20 A. Ру н Гюссон, С. R. Acad, Sci. Par., 235, 19, 1952. 21 Ф. В. Турчин, М. А. Гуминская н Е.Г. Плышевская, Физпология растений, 2, 3, 1955. 22 Т. Н. Годнев и А. А. Шлык, Применение изотопов в технике, биологии и сельском х-ве. Изд. АН, 1955. 23 В. Н. Любишенко, Зап. А. Н. отд. физ. мат., 23, 1916. 24 А. Я. Кокин, Тр. Лен. общ. ест., 54, 1924. 25 А. Я. Кокин, Изв. гл. бот. сада, 25, 4, 1928. 26 А. Е. Мурнек, Res. Bull., 268, 1937.

²⁷ А. А. Зайцева, ДАН СССР, 25, 8, 1939. ²⁸ А. А. Зайцева, ДАН СССР, 27, 8, 1940. ²⁹ Вильштетер н А. Шталл, Untersuchungen über Chlorophyll, 1913. ³⁰ В. Н. Любименко, Тр. СПБ общ. естест., 41, 1910. ³¹ А. С. Оконенко, Н. М. Толмачев н А. М. Кехух, Тр. научн. ин-та сельхоз-а, Кнев, 2, 28. ³² О. А. Щеглова, Тр. БИН, сер. IV, эксп. бот. 4, 1940.

ЭНТОМОЛОГИЯ

С. М. Хизорян

Новый веероносец из Армянской ССР (Coleoptera, Rhipiphoridae)

Rhipidius tigrani Khnzorian sp. nov.

(Представлено В. А. Фанарджяном 11. III. 1957)

АрмССР: Ереван, Зоопарк, 6. 6. 1956, 1 самец.

Черный, покрыт темными волосками, усики, щупики и бедра темно-бурые, голени красно-бурые, лапки желто-бурые. Вершина над-крылий депигментована и кажется белесо-

ватой. Длина 4,5 мм (рис. 1,1.).

Голова слабо продольная, глаза большие, грубофасеточные, охватывают кольцом перед головы и соприкасаются сверху и снизу, их нижняя часть больше верхней и более выпучена (рис. 1. 2). Длина глаз составляет приблизительно 0,45 длины головы (при измерении сверху). Виски длинные, длиннее глаз, почти параллельные, едва сужены кзади, и, затем, резко закруглены у шейки. Усики 11-члениковые, их первые 3 членика конические, большие, 1-й членик больше остальных, 2-й и 3-й приблизительно равны друг другу, последние 8 члеников несут длинные ветви, округленно расширенные к вершине.

Переднеспинка колоколообразная, у основания в два раза шире длины, ее передний край широко закругленный, основание слабо двувыемчатое, боковые края загнуты на грудь, без следа бокового киля, задние углы при осмотре сверху имеют вид острого угла, заходящего за плечи.

Щиток большой, сильно поперечный. Надкрылья значительно отдалены друг от друга, между ними видна часть заднегруди,

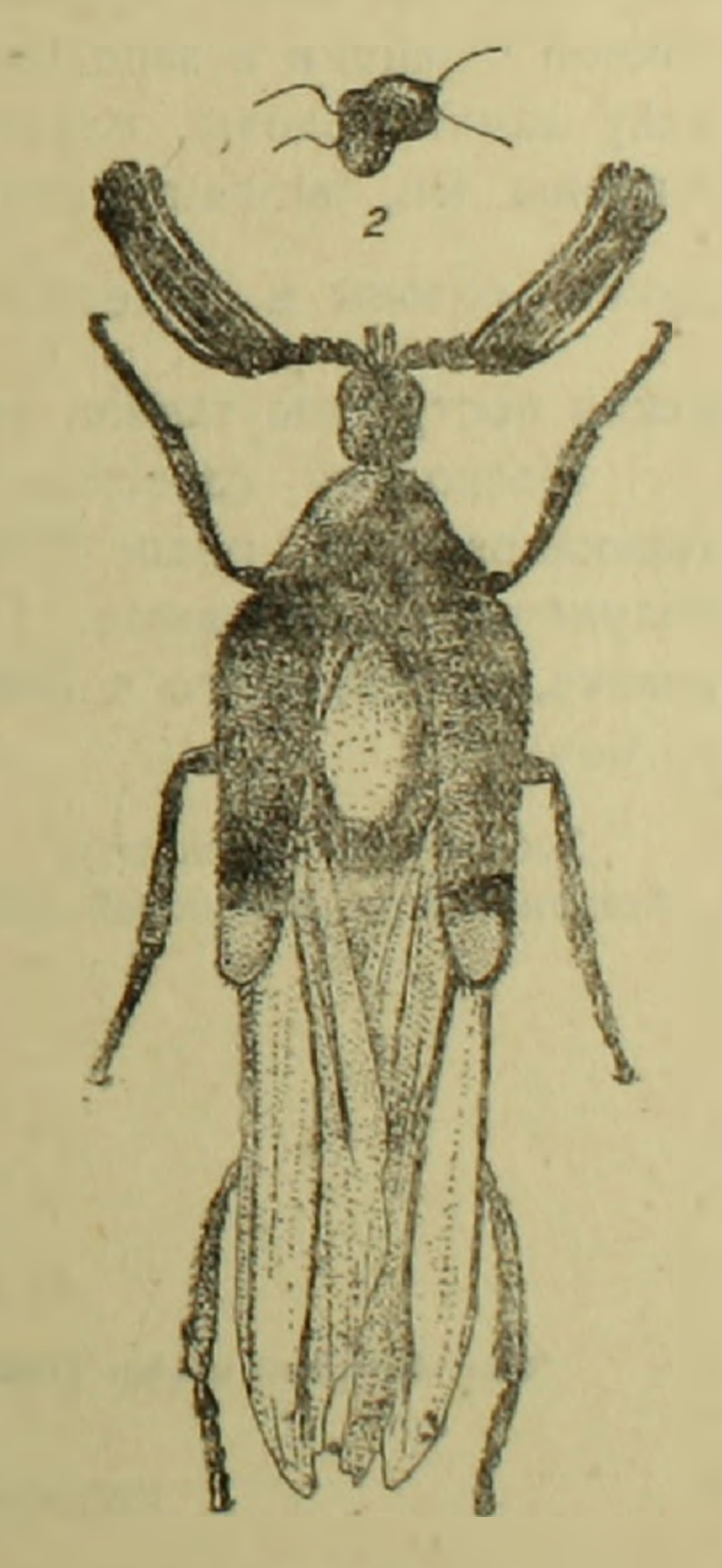


Рис. 1. Новый веероносец на АрмССР. 1—общий вид; 2—голова сбоку.

образующая здесь блестящий выпуклый щит. Каждое надкрылье в 4 раза длиннее своей ширины, с широко округленными плечами, их диск неровный с неясными боковыми вдавлениями, без бороздок, их вершинная лопасть плоская. По всему краю надкрылий с наружной и внутренной стороны имеется бахромка из коротких косых ресничек; снизу плеч виднеется плоский кант, продолженный на основной трети надкрылья. Эпиплевры отсутствуют, край надкрылий заканчивается валиком. Крылья прозрачные с темными жилками, заходят за конец брюшка. Все покровы жирно блестящие, густо морщинисто - точечные, густо волосистые, волоски полуприлегающие

Ноги узкие, передние голени очень слабо изогнуты кнаружи дугой (меньше, чем у большинства прочих видов этого рода), средние прямые. задние — слегка дугообразно искривленные. Лапки узкие, их членики цилиндрические. 1-й членик задних лапок едва длиннее 2-го.

Этот вид—1-й представитель рода Rhipidius Thnb. в Армении и на Кавказе и 1-й вид этого рода, описываемый из СССР. Ближе всего он стоит, с одной стороны, к Rh. quadriceps Ab., а с другой, к Rh. fairmairei Chob. Rh. quadriceps, известен из горной зоны юго восточной Франции и западной Швейцарии, у него глаза занимают половину длины головы, пластинки усикового гребня к вершине не расширены. Rh. fairmairei описан из Занзибара, его глаза занимают треть длины головы и переднеспинка лишь в $1\frac{1}{2}$ раза шире своей длины, усики построены также, как у Rh. tigrani.

Поскольку известно, все виды этого рода развиваются в теле таракановых из родов Ectobius и Blatta, самцы летают ночью, после полуночи, в июне-июле. Голотип Rh. tigrani найден на кузове грузовика, приехавшего в Зоопарк из города, он, вероятно, залетел в него ночью.

Зоологический институт Академин наук Армянской ССР

Ս. Մ. ԽՆՁՈՐՅԱՆ

Նոր հովհարակիր (Coleoptera, Rhipiphoridae) Հայկական ՍՍՈ-ից

Rhipidius tigrani Khnzorian sp. nov

Հայկական ՍՍՈՒ, Երևան, հեղանարանական այդի, 6. 6. 1956, 1 արում
Արուն աև է, ծածկված սև մասիկահրով, բնդիկննրը, չոշափուկ նրը և ազգրերը
մուդ դորչ են, սրունքները կարմրա-սորչ, ԹաԹիկննրը դեղնա-գորչ։ ՎերնաԹևերի
գաղաթնները սլիդմենտադուրկ են և սորտակավուն։ Երկարությունը 4,5 մմ է (եկ. 1.1)։

Գլուխը թույլ ևոտնկյունաձև է, աչրերը մեծ են, օղակաձև դասավորված գլխի առջևի մասում (նկ. 1,2)։ Աչբերի երկարությունը կազմում է մոտավորապես գլխի երկարության 0,45 մասը։ Իեղիկները 11-հատվածանի են, նրանց սկզթի 3 հատվածները կոնաձև են, վերջին 8 հատվածները իրենց վրա կրում են երկար ճյուղիկներ։

Նախամե Չբը ղանգաձև է։ Վահանիկը մեծ է և ուժեղ ընդլայնական։ Ցուրաքանչյութ վերնաԹևը 4 անդամ երկար է իր լայնությունից։

Այս տեսակը Հայաստանում և Կովկասում Rhipidius սեսի առաջին ներկայացուցիչն է։ Նա ամենից ավելի մոտ է միջին Եվրոպական Rh. quadriceps Ab. տեսակին, որի մոտ սակայն սանրավոր բեղիկի թերթիկներն ուղիղ են, իսկ Rh. tigrani մոտ լայնացած դեպի դաղաթը։ Այդպիսի կառուցվածը ունեն նաև Զանդիբասարից նկարադրված Rh. lairmairei Chob. սանրի թերթիկները, րայց վերջին տեսակի մոտ նախամեջըը միայն 11/2 անդամ լայն է երկարությունից, աչբերը կարձ են։



ԲበՎԱՆԴԱԿՈՒԹՅՈՒՆ XXIV ՀԱՏՈՐԻ

	59
Մեխանիկա	
Կ. Ս. Կարապետյան <i>— Բևտոնի ամրության և դեֆորմատիվ հատկությունների</i> մի կարևոր դործոնի մասին	144
Մ. Ա. Զաղոյան — Բետոնյա բլոկների սահմանային վիճակի մի խնդրի մասին	193
Գրունաների մեխանիկա	
Ս. Ռ. Մեսչյան — Կապակցված գրունտների սողքի ղեֆորմացիաների և լա- րումների միջև եղած առնչության էքսպերիմենտալ ուսումնասիրությունը .	61
Առաձգականության տեսություն	
Ս. Ա. Համբարձումյան, ՀՍՍՌ ԳԱ Թղթակից-անդամ — Անիզոտրոպ սալերի ոչ գծային տեսության մասին	153
Ֆիզիկա	
Գ. Ս. Սաճակյան —	3
фрш	49
Դ. Ս. Սահակյան. Զ. Ա. Կիրակոսյան և Ա. Ս. Ալեքսանյան — Պրոտոնների էներգետիկ սպեկտրը ծովի մակարդակից 3200 մ բարձրության վրա	97
pmed	161
ԱստրոՖիզիկա	
Գ. Ա. Դուրզադյան — Անընդհատ առաքման ճառագայթման հարավորությունը մոլորակաձև միգամածությունննրի կողմից	53
ԳեոՖիզիկա	
Է, Բ. Աջիմամուղով — Գրավիտացիոն դաչտի և Փոբր Կովկասի տեկտոնական դոնալության միջև գոյություն անեցող կապի մասին	167
սականության մասին	201
Ինժեներական սեյսմոլոգիա	
Ա. Գ. Նազարով, ՀՍՍՌ ԳԱ Թղթակից անդամ—Սեյոմիկայի ազդեցության վրա 	9
Շինարարական կոնստրուկցիաներ	
է. Գ. Սեղրակյան — Ձեղնահարկով շենքի ևրկաթարետոն ՍԼ-Չֆերմա-վրա- քարշներից հավաբոժի տանիքի կոնստրուկցիա	13

Ֆիզիկական թիւքիա

Լ. Ե. Տեր-Մինասյան — Պարա-ալկոքսի-րենզոական ԹԹուների մի քանի ածանցյալների մոլեկուլյար ռեֆրակցիաների հաշված և էկսպերիմենտալ կերպով չափված մեծությունների միջև դոյություն ունեցող տարրերությունների մասին Լ. Վ. Խաժակյան — Ացետիլենի կատալիտիկ դիմերման մեխանիզմի հարցի	19
	67
Բիոքիսնիա	
Հ. Վ. Մատինյան — Նատրիումի հիպոսուլֆիտի աղդեցությունը բլորոպրենա- յին թունավորման դեպբում	27
Ագրոթիմիա	
Ա. Շ. Գալսայան — Հայաստանի մի բանի հողատիպերի ֆերմենտային ակտի- վությունը։ Հաղորդում II	33
Դեղագործական թիմիա	
Ա. Լ. Մնջոյան, ՀՍՍՌ ԳԱ ակադեմիկոս, և Ն. Մ. Դիվանյան — Հետազոտու- թյուն ֆուրանի ածանցյալների ընագավառում։ Հաղորդում X	37
Ա. Լ Սնջոյան, Հ <i>ՍՍՌ ԳԱ ակադեմիկոս</i> , Վ. Գ. Աֆրիկյան <i>և</i> Մ. Թ. Գրիզոր- յան — Հ <i>ետավոտություն ֆուրանի ածանցյալների ընադավառում։ Հաղորդում</i> XI	73
Ա. Լ. Մնջոյան, ՀՍՍՈ ԳԱ ակադեմիկոս, Ա. Գ. Աֆրիկյան և Ա. Ն. Հովճան- նիսյան — Հետադոտություն պարա-ալկօբսիթենղոական թթուների ածանցյալների ընագավառում։ Հաղորդում XIV	105
Ա. Լ. Սնջոյան. Հ <i>ՍՍՌ ԳԱ ակաղեմիկոս, և</i> Ն. Մ. Դիվանյան — Հետազոտու- <i>թյու</i> ն ֆուրանի ածանցյաների բնադավառում։ Հաղորդում XII	172
եւ է. Մնջոյան, Հ <i>ՍՍՌ ակադեմիկոս</i> , Վ. Գ. Աֆրիկյան <i>և</i> Մ. Տ. Գրիգորյան — Հետազոտություն ֆուրանի ածանցյալների ընադավառում։ Հաղորդում XIII	207
Երկրաբանություն	
Ս. Ա. Իսանակյան — Նևոգևնի հրաբխականության օրինաչափությունները արևմտյան Դարալագյազի (Հայկական ՍՍՈ-) սահմաններում	119
<u> Ուսևուտիժետ </u>	
Վ. Թ. Հակոբյան — Թափասար լևռան դագաթի հրարխածին հաստվածրի հա- սակի մասին	177
ՊետրոգրաՖիա	
վ. հ. Կոտլյար և Է. Դ. Սալիսասյան — Գյումուշխանայի ինտրուղիվ կոմ- ալհեսի անորթեողիտները, դրանոֆիրները և էսսեկսիտային ապարները Ս. Ի. Բալասանյան - Բիոտիտի անսովոր վարքը ապար կազմող միներալների	43
թյուրեղացման սխեմայում	219
<u>Հրաբխագիտություն</u>	
Կ. Գ. Շիրինյան — Նոր տվյալներ Հայաստանի չորրորդական հասակի տուֆև- րի և տուֆոլավաների ժայթերման կենտրոնների մասին	85
Կլիմայագիտություն	
Ա. Բ. Բաղդասարյան — Քամիները Սհանի ավաղանում և նրանց Էներդետիկ օգտաղործման հեռանկարները	91
Բույսերի սիստեմատիկա	
Bu. Ի. Մուլրիջանյան – Մոշի Նոր տեսակ Չանդեղուրից։ Species nova Rubus florae Zangezur	125

Եսբյանրի Ֆիզիսլոգիա

Աագարյան և Է. Մ. Ավունջյան — Իույսնըի մեջ ռադիոակտիվ գլիկոկոլի	
տարժման արաղության փոփոխության մասին, կասլված սլաստիկ նյութերի ֆլոեմայի	
րջիջների հագեցվածության աստիճանից	129
Վ. Հ. Ղազարյան և Գ. Գ. Գաբրիելյան — Բույսերի մեջ պլաստիկ Նյութերի	
շարժման պրոցնսում ֆելոդերմայի դերի մասին	183
Վ. Հ. Ղազարյան, Գ. Գ. Գաբրիելյան և Վ. Շ. Աղաբաբյան — <i>Ֆոտոսինքեզի</i>	
ակտիվության և բլորոֆիլի վերականդնման միջև ևղած կապի մասին	225
Բուսական հումը	
Ս. Ցա. Զոլոտնիցկայա <i>— Ալկալոիդային կոմպլեքսի աշխարհաղրական փոփ</i> -	
խականության մասին	189
Միջատաբանություն	
Ս. Ա. Վարդիկյան <i>– Երկրաչափ Թիթևոի Նոր տեսակ</i> Dyscia Hbn. սեռից	
(Lepidoptera, Geometridae) Հայկական ՍՍՈ-ից	135
Ս. Մ. Խնձորյան – Նոր հովհարակիր (Coleoptera, Rhipiphoridae) Հայկական	
uu_{h-hg}	232
Ֆիզիոլոգիա	
Ս. Կ. Կարապետյան, ՀՍՍՌ ԳԱ ակաղեմիկոս — Էջսպերիմենտալ տվյալներ	
հավի սաղմի կենսունակության վրա պարբերարար փոփոխվող ջերմային գործոնի	
ազդեցության մասին, , , , , , , , , , , , , , , , , , ,	141

АМОТ VIXX ЭИНАЖ ЧЭДО Э

	Стр.
Механика	
К. С. Карапетян — Об одном существенном факторе в прочностных и деформативных свойствах бетона	
Механика грунтов	
С. Р. Месчян — Экспериментальное исследование зависимости между на- пряжениями и деформациями ползучести связных грунтов	61
Теория упругости	
С. А. Амбарцумян, члкорр. АН АрмССР — К вопросу нелинейной теории аназотронных пластинок	153
Физика	
Г. С. Саакян — Энергетический спектр рождения π-мезонов в атмосфере Н. М. Кочарян, члкорр. АН АрмССР, Г. С. Саакян и М. Т. Айвазян—	3
Энергетический спектр-мезонов на высоте 3200 м над уровнем моря Г. С. Саакян, З. А. Киракосян и А. С. Алексанян — Энергетический	49
спектр протонов на высоте 3200 м над уравнем моря	67
Астрофизика	161
Г. А. Гурзадян — Возможность излучения непрерывной эмисии планетар- ными туманностями	53
Геофизика	
Э. Б. Аджимамудов — О связи гравитационного поля с тектонической зональностью Малого Кавказа	167
Ц. Г. Акопян — Об остаточной намагниченности эффузивных горных пород	201
Инженерная сейсмология	
А. Г. Назаров, члкорр. АН АрмССР — Об одном способе испытания моделей на сейсмические воздействия	9
Строительные конструкции	
Л. Г. Седракян — Конструкция сборной железобетонной крыши с чер- дачным перекрытием из сборных железобетонных ферм-настилов СЛ-2	13

Физическая химия

ментально измеренными величинами молекулярных рефракций некоторых производных пара-алкокси-бензойных кислот	
Биохимия	,
Г. В. Матинян — Действие гипосульфита натрия при хлоропреновом отравлении	
Агрохимия	
А. Ш. Галстян — Ферментативная активность некоторых типов почв Армении. Сообщение II	33
Фармацевтическая химия	
А. Л. Мнджоян, академик АН АрмССР, и Н. М.Диванян — Исследование в облести производных фурана. Сообщение Х	37
А. Л. Миджоян, академик АН АрмССР, В. Г. Африкян и М. Т. Григорян — Исследование в области производных фурана. Сообщение XI А. Л. Миджоян, академик АН АрмССР, В. Г. Африкян и А. Н. Оганесян — Исследование в области производных п-алкоксибензойных кислот. Со-	73
общение XIV	105
ние в области производных фурана Сообщение XII	
горян — Исследование в области производных фурана. Сообщение XIII .	207
Геология	
С. А. Исаакян — О закономерностях неогенового вулканизма в пределах Западного Даралагеза (Армянская ССР)	119
Стратиграфия	
В. Т. Акопян — О возрасте вулканогенной толщи вершины г. Тапасар.	177
Петрография	
В. Н. Котляр и Э. Г. Малхасян — Анортозиты, гранофиры и эссекситовые породы Гюмушханского интрузивного комплекса	43
С. И. Баласанян — Необычное поведение биотита в схеме кристаллизации породообразующих минералов	219
Вулканология	
К.Г. Ширинян — Новые данные о центрах извержений четвертичных туфов и туфолав Армении	85
Климатология	
А. Б. Багдасарян — Ветры Севанского бассейна и перспективы их энер- гетического использования	91
Систематика растений	
Я. И. Мулкиджанян — Новый вид ежевики из Зангезура. Species nova Rubus florae Zangezur	125

Физиология растений

В. О. Казарян и Э. С. Авунджян — Об изменении скорости передвиже-	
ния радиоактивного гликокола в растениях в зависимости от насыщености клеток флоемы пластическими веществами ,	129
В. О. Казарян и Г. Г. Габриелян — О роли феллодермы в перецвижении	120
пластических веществ у растений	183
$B.\ O.\ Казарян,\ \Gamma.\ \Gamma^\cdot$ Габриелян и $B.\ III.\ Агабабян$ — О связи между интенсивностью фотосинтеза и энергисй возобновления хлорофилла	225
Растительное сырье	
С. Я. Золотницкая — О географической изменчивости алкалоидного	
комплекса	189
Энтомологня	
С. А. Вардикян — Новый вид пяденицы из рода Dyscia Hbn. (Lepidoptera,	105
Geometridae) из Армянской ССР	135
piphoridae)	231
Физиология	
С. К. Карапетян академик АН АрмССР — Экспериментальные данные о	
влиянии периодически изменяемого термического режима на выживаемость эм-	141
бриона кур	141

